

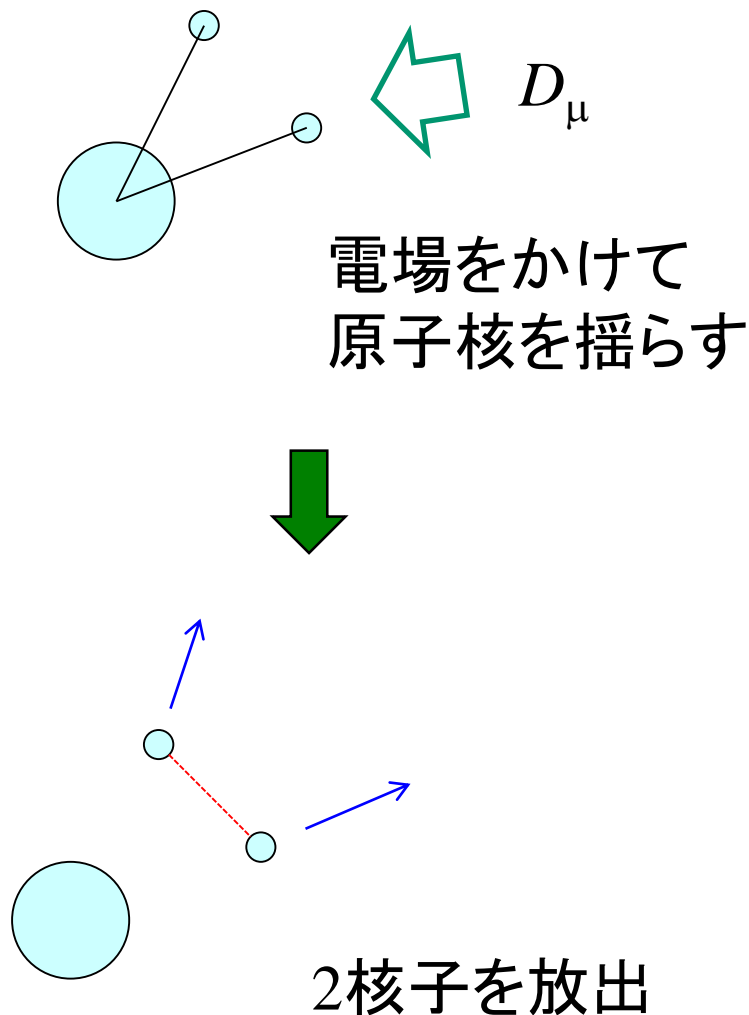
芯核+2核子系の共鳴状態

~ 2核子放出崩壊現象 ~

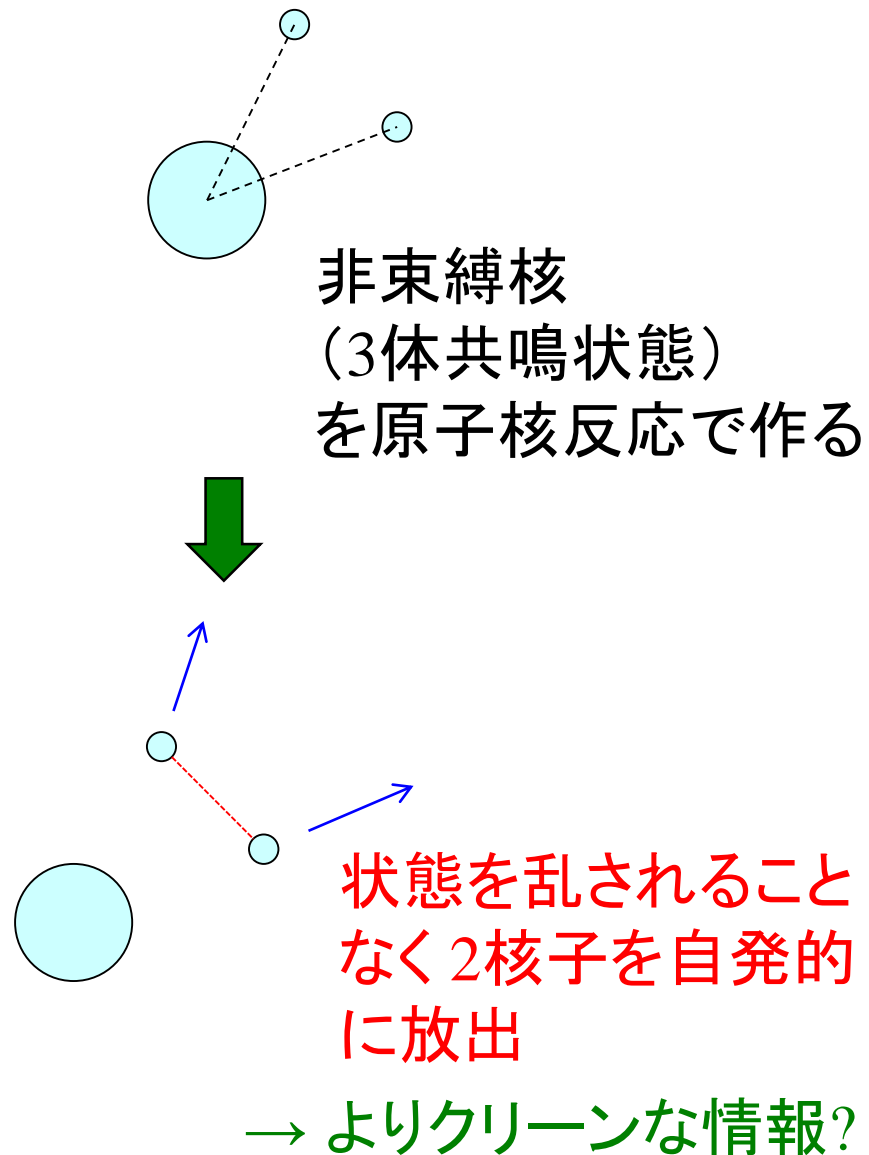
- 2陽子放出崩壊
- 2中性子放出崩壊

クーロン分解と2核子放出崩壊

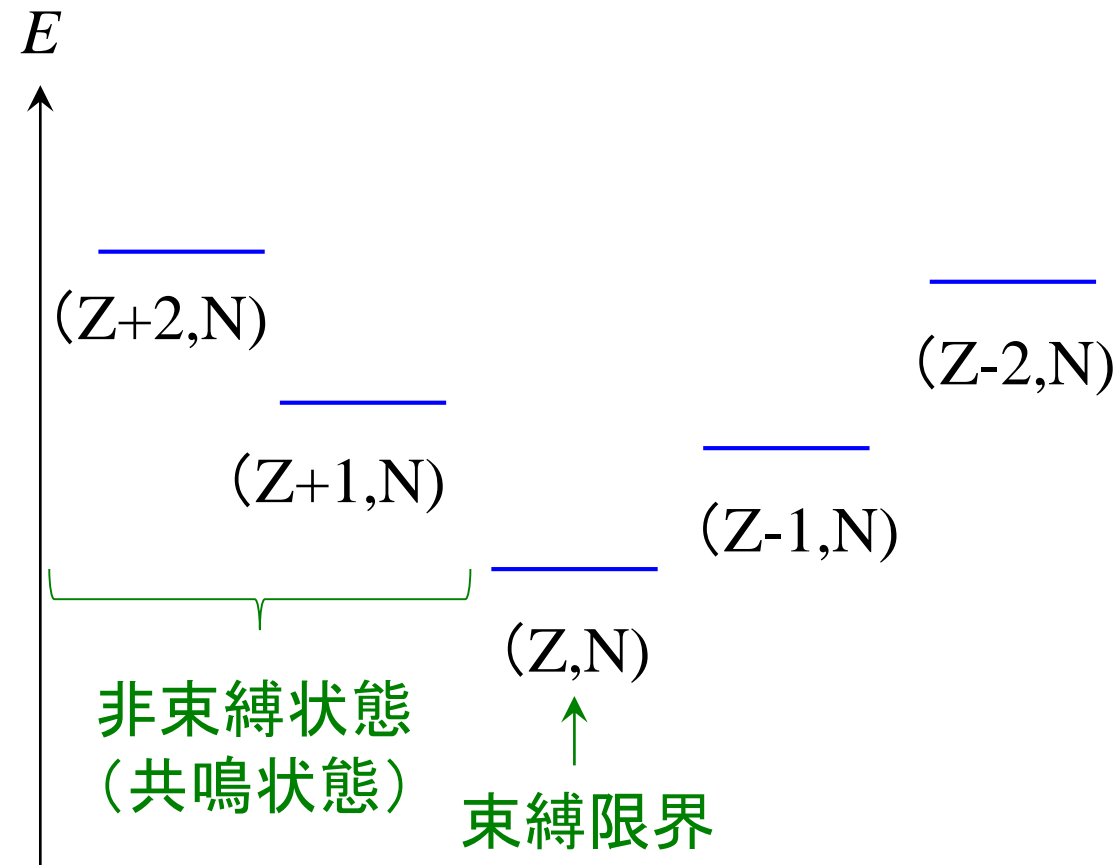
クーロン分解



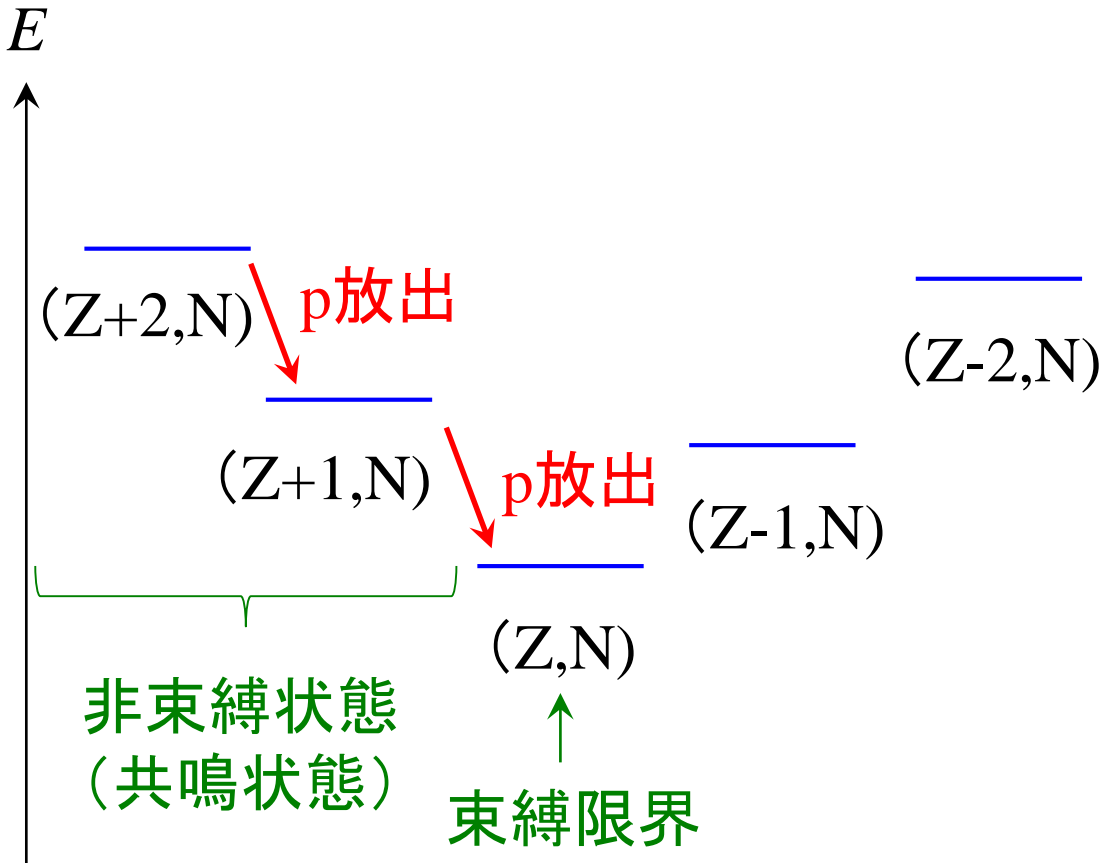
2核子放出崩壊



「正真正銘の」2核子放出崩壊

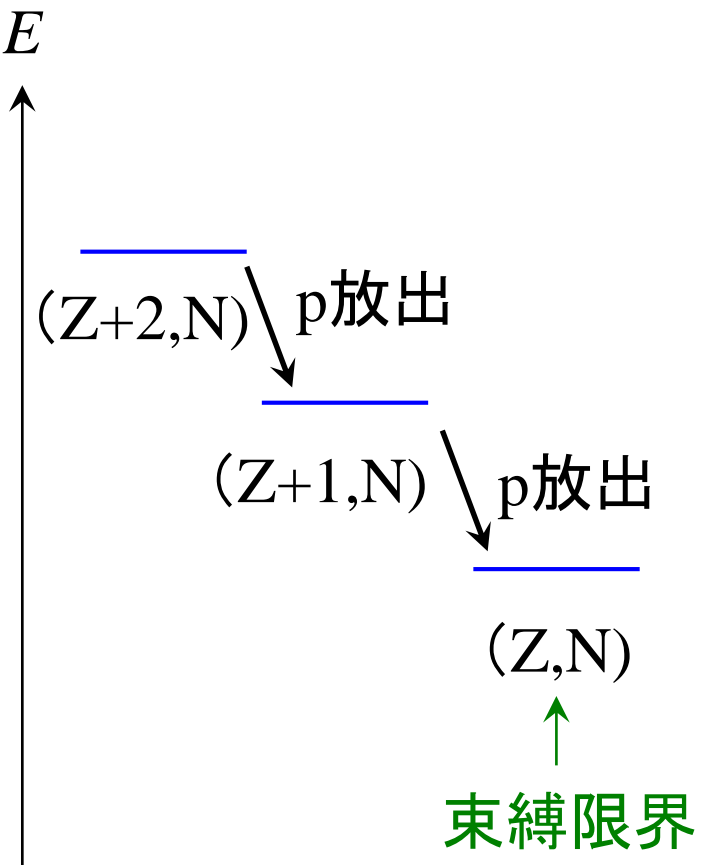


「正真正銘の」2核子放出崩壊



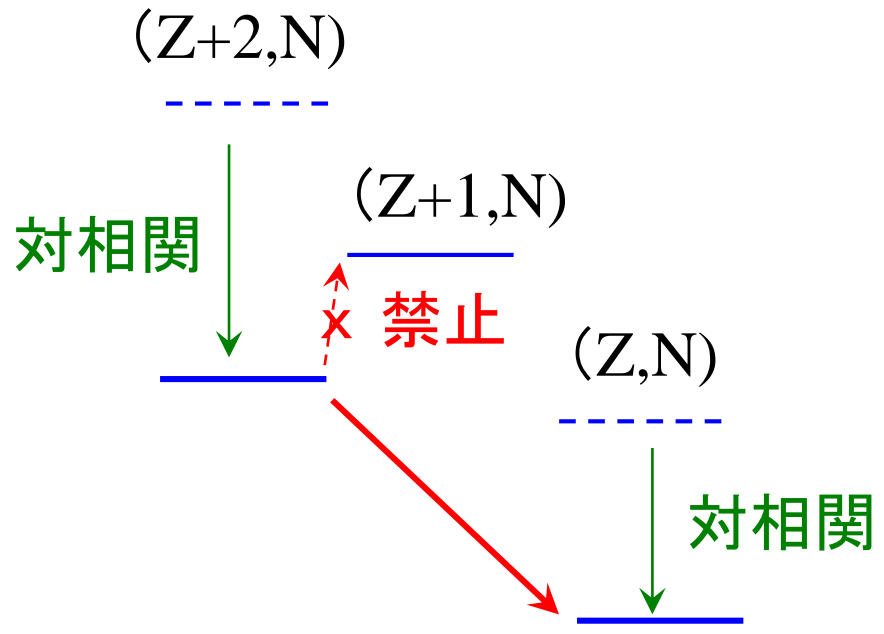
連続的な2核子放出
(1核子放出が2回起きる)

「正真正銘の」2核子放出崩壊



連続的な2核子放出
(1核子放出が2回起きる)

もし Z が偶数だと



直接 (Z+2, N) から (Z, N) に遷移

「正真正銘の」2核子放出崩壊

寿命が十分長ければ(例えば 10^{-14} 秒以上)
「放射性」2陽子放出崩壊

(類似の現象)

二重β崩壊

$^{136}_{55}\text{Cs}_{81}$
mass excess
= - 86.34 MeV

β ダメ

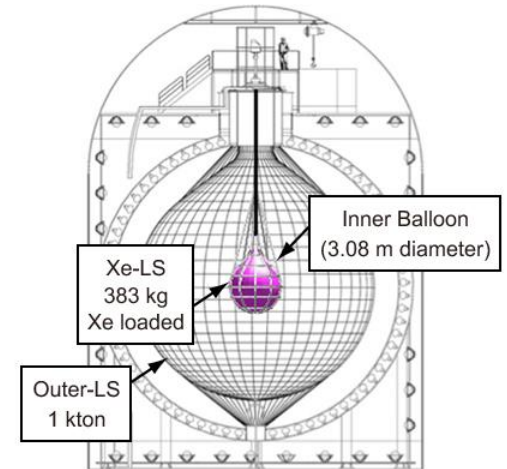
$^{136}_{54}\text{Xe}_{82}$

mass excess
= - 86.43 MeV

ββ

$^{136}_{56}\text{Ba}_{80}$

mass excess
= - 88.89 MeV



Kamland-ZEN

放射性2陽子放出崩壊の実験データ

理論的予言 : V.I. Goldansky, Nucl. Phys. 19 ('60) 482
Y.B. Zel'dovich, Sov. Phys. JETP 11 ('60) 812

最初の実験的観測 :

^{45}Fe 核 : M. Pfutzner et al., Euro. Phys. J. A14 ('02) 279
J. Giovinazzo et al., PRL 89 ('02) 102501

* ^6Be の2陽子放出崩壊の最初の観測は 1966 年。
ただし、 $\tau = 7.15(47) \times 10^{-21}$ 秒なので、「放射性」
崩壊とは言えない。

B. Blank and M. Ploszajczak, Rep. Prog. Phys. 71 ('08) 046301

放射性2陽子放出崩壊の実験データ

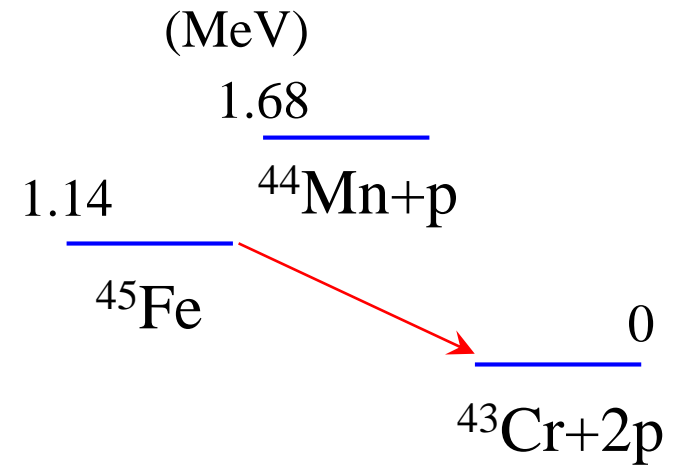
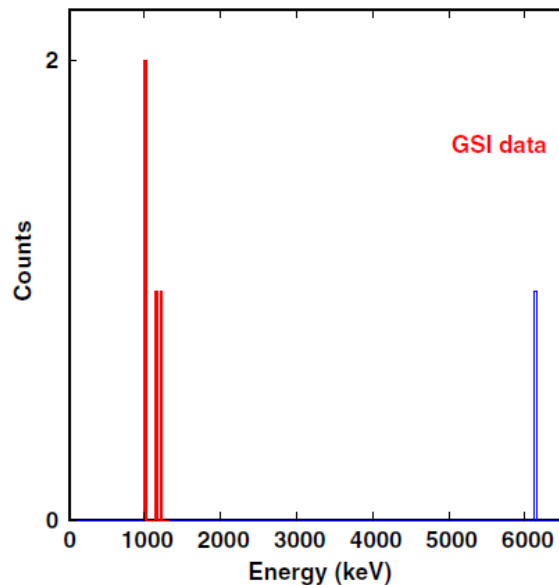
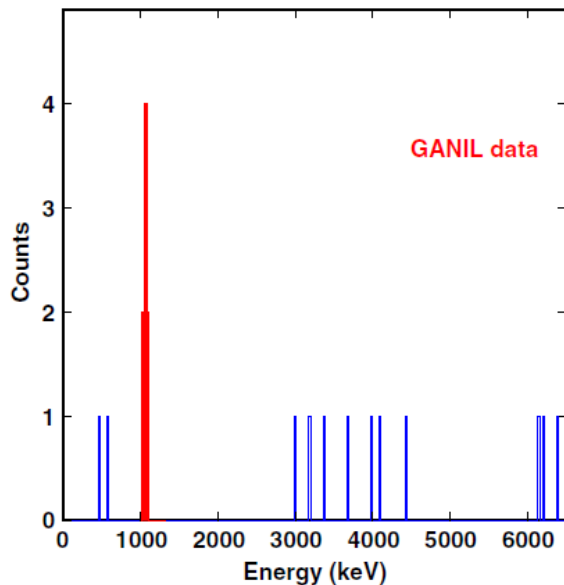
理論的予言 : V.I. Goldansky, Nucl. Phys. 19 ('60) 482

Y.B. Zel'dovich, Sov. Phys. JETP 11 ('60) 812

最初の実験的観測 :

^{45}Fe 核 : M. Pfutzner et al., Euro. Phys. J. A14 ('02) 279

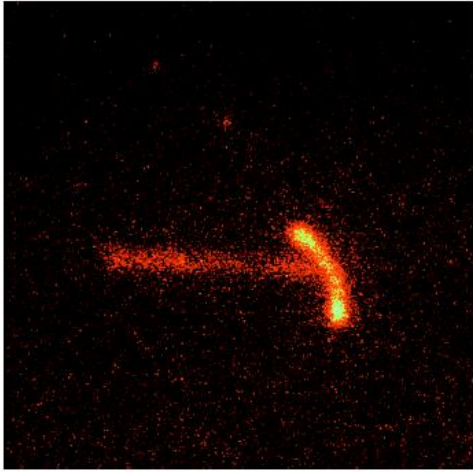
J. Giovinazzo et al., PRL 89 ('02) 102501



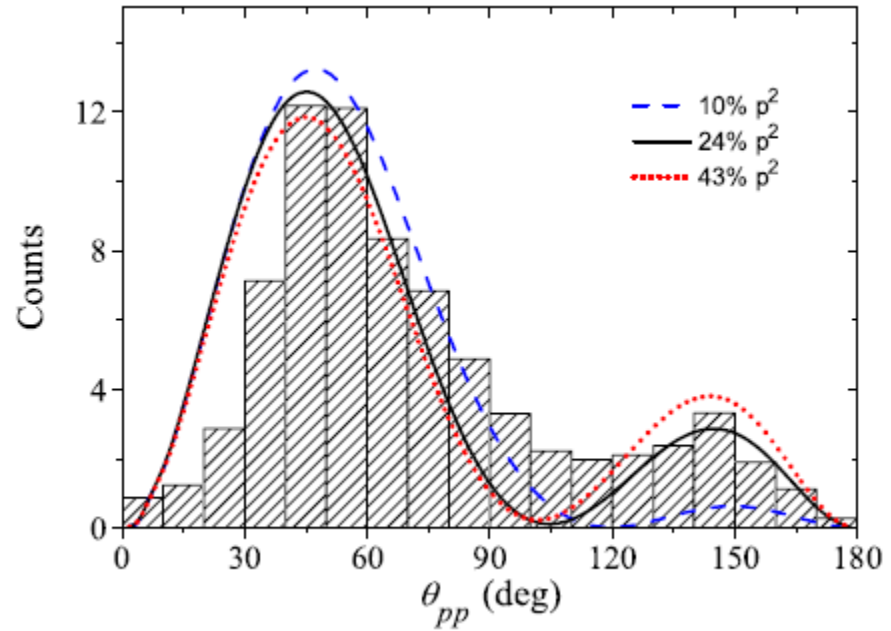
B. Blank and M. Ploszajczak, Rep. Prog. Phys. 71 ('08) 046301

放射性2陽子放出崩壊の実験データ

その後の ^{45}Fe 核の実験



ガス・チェンバーの中
を走らせて CCD カメラ
で写真をとる

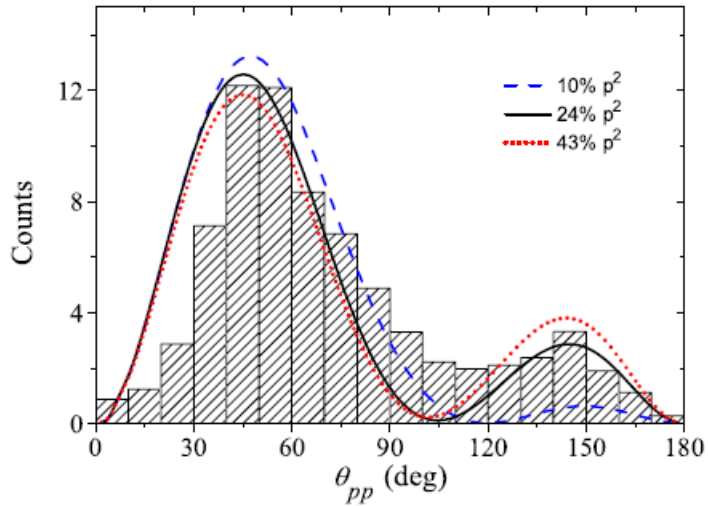


角度分布の解析:

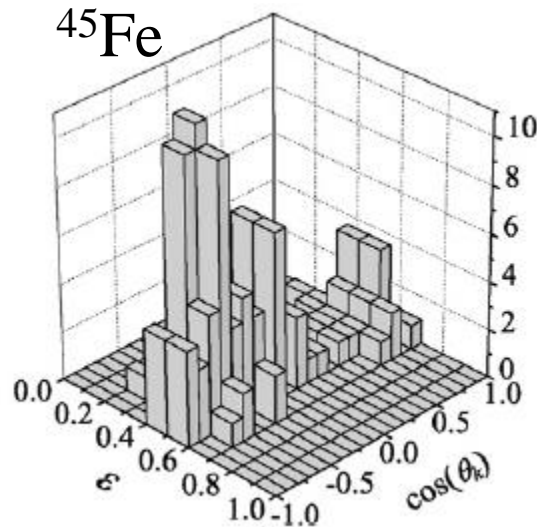
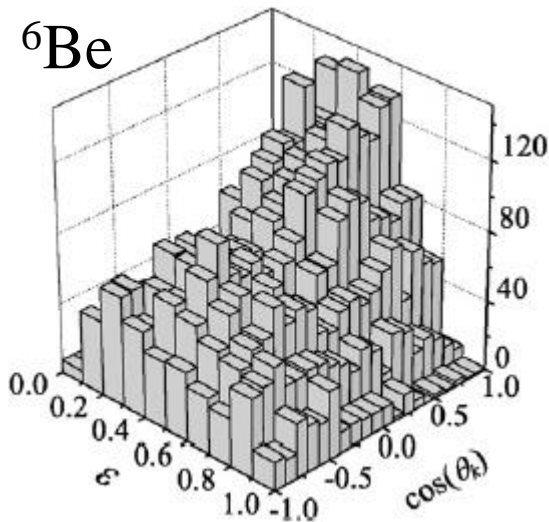
$p^2 \sim 30\%$, $f^2 \sim 70\%$ の三体模型計算
とよく合う

K. Miernik et al., PRL 99 ('07) 192501

放射性2陽子放出崩壊の実験データ



ただし、
✓ 何故ふた山構造になるのか
✓ 何故前方ピークになるのか
などはよくわかっていない
(そのような議論をあまり見かけない)



${}^6\text{Be}$ と ${}^{45}\text{Fe}$ で全く
違う分布

→ 理由は議論されて
いない

(クーロン三体系の計算
が大変であり計算をする
人がいない)

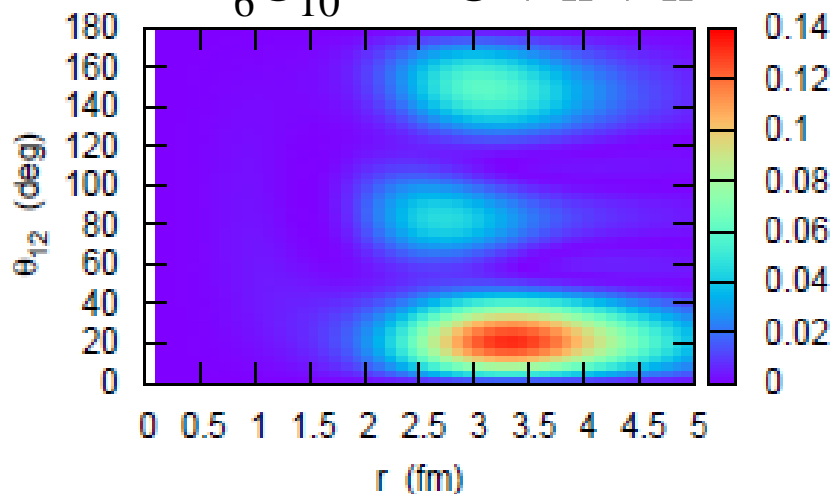
実験データ

L.V. Grigorenko et al.,
PLB677 ('09) 30

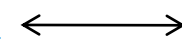
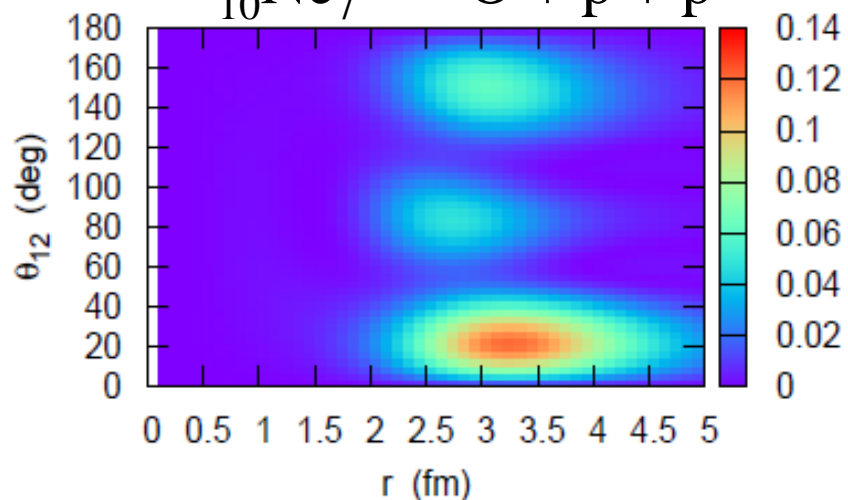
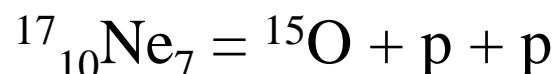
2核子放出崩壊におけるダイ・プロトン相関の効果

T. Oishi, K.H., and H. Sagawa, PRC90 ('14) 034303

ダイ・ニュートロン相関



ダイ・プロトン相関



similar

$$\begin{aligned} \langle v_{pp}^{(nucl)} \rangle &= -3.26 \text{ MeV} \\ \langle v_{pp}^{(Coul)} \rangle &= 0.448 \text{ MeV} \end{aligned}$$

非束縛核にダイプロトン相関があると、2陽子放出崩壊にどのような影響を及ぼすのか？

考察: 運動量空間でのダイ・ニュートロン/ダイ・プロトン相関

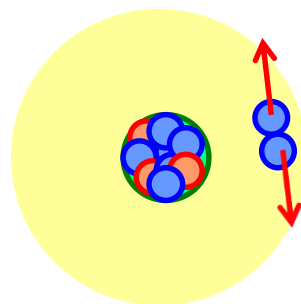
$$\Psi(r, r') = \alpha \Psi_{ee}(r, r') + \beta \Psi_{oo}(r, r') \rightarrow \theta_r = 0: \text{増大}$$

→ フーリエ変換

$$\tilde{\Psi}(k, k') = \int e^{ik \cdot r} e^{ik' \cdot r'} \Psi(r, r') dr dr'$$

$$e^{ik \cdot r} = \sum_l (2l + 1) i^l \dots \rightarrow \begin{matrix} i^l & \cdot & i^l & = & i^{2l} & = & (-)^l \\ \uparrow & & \uparrow & & & & \\ r & & r' & & & & \end{matrix}$$

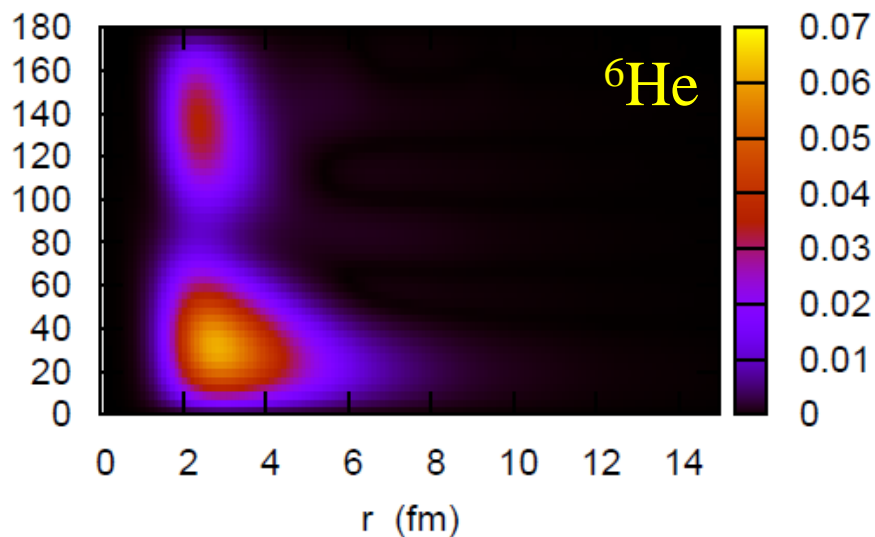
$$\tilde{\Psi}(k, k') = \alpha \tilde{\Psi}_{ee}(k, k') - \beta \tilde{\Psi}_{oo}(k, k') \rightarrow \theta_k = \pi: \text{増大}$$



* 不確定性関係の観点からも理解可

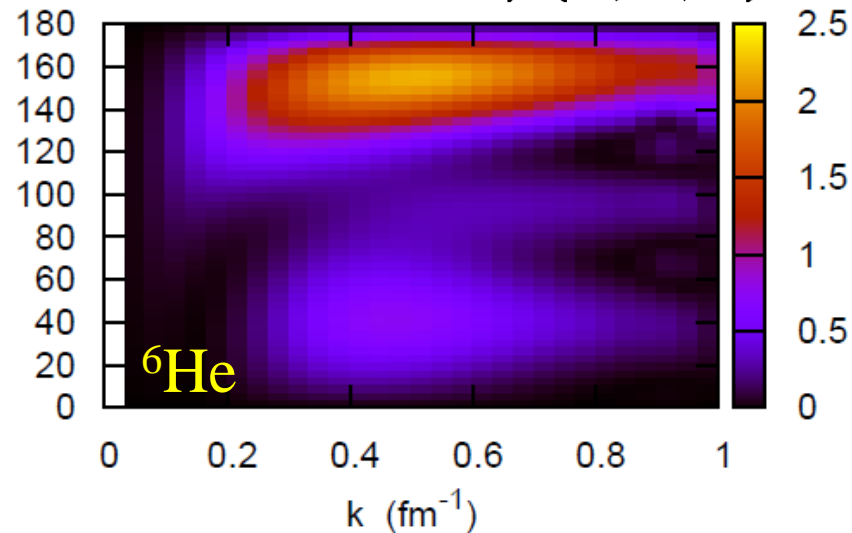
座標空間での2粒子密度:

$$8\pi^2 r^4 \sin \theta \cdot \rho(r, r, \theta)$$

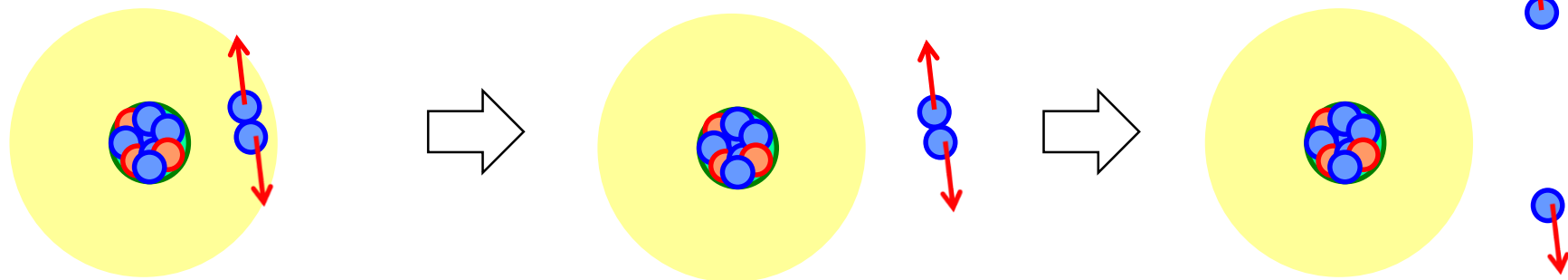


運動量空間での2粒子密度:

$$8\pi^2 k^4 \sin \theta \cdot \rho(k, k, \theta)$$

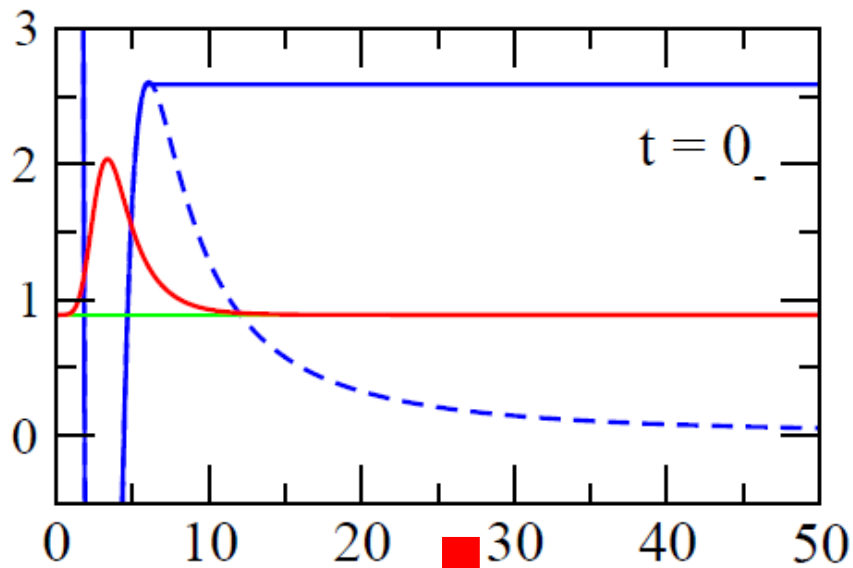


2粒子放出崩壊への帰結

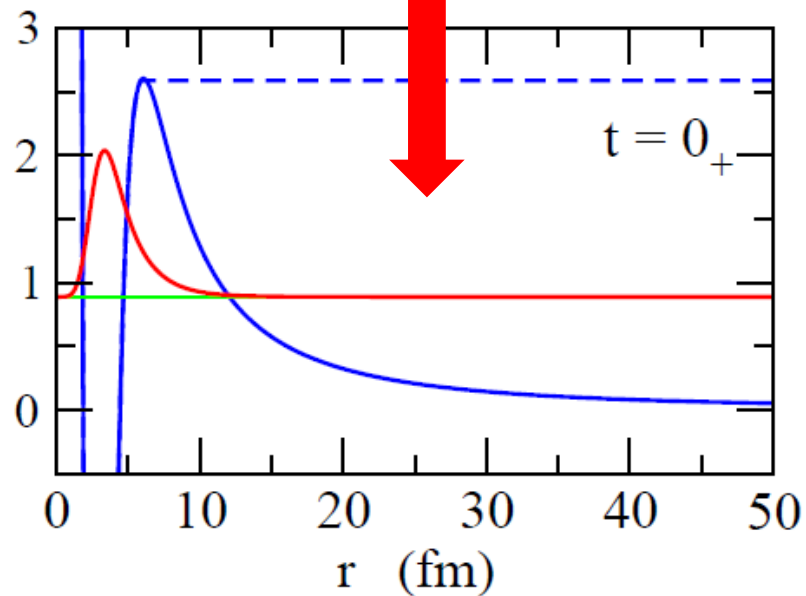


実際にこのようになっているのか? → 時間発展の方法で確かめる。

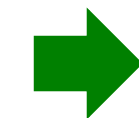
時間発展法による量子トンネル崩壊の記述



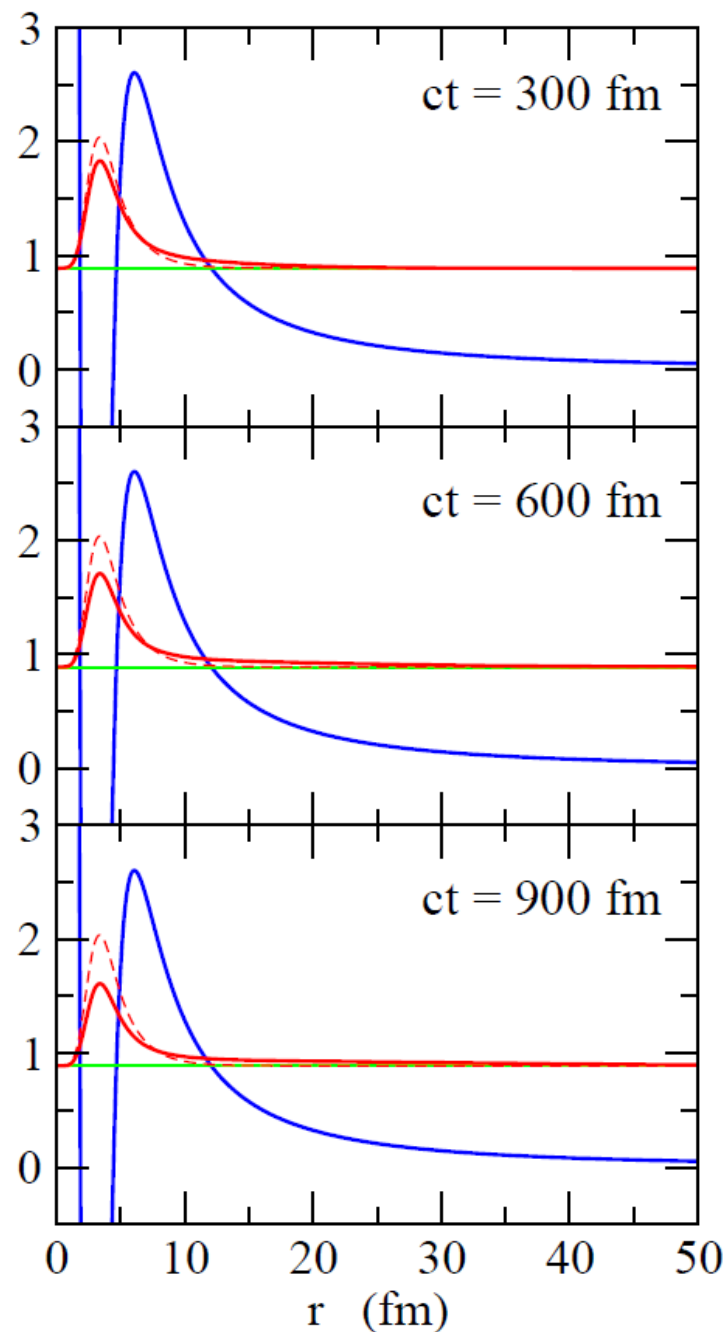
$t = 0$ にポテンシャルを変化



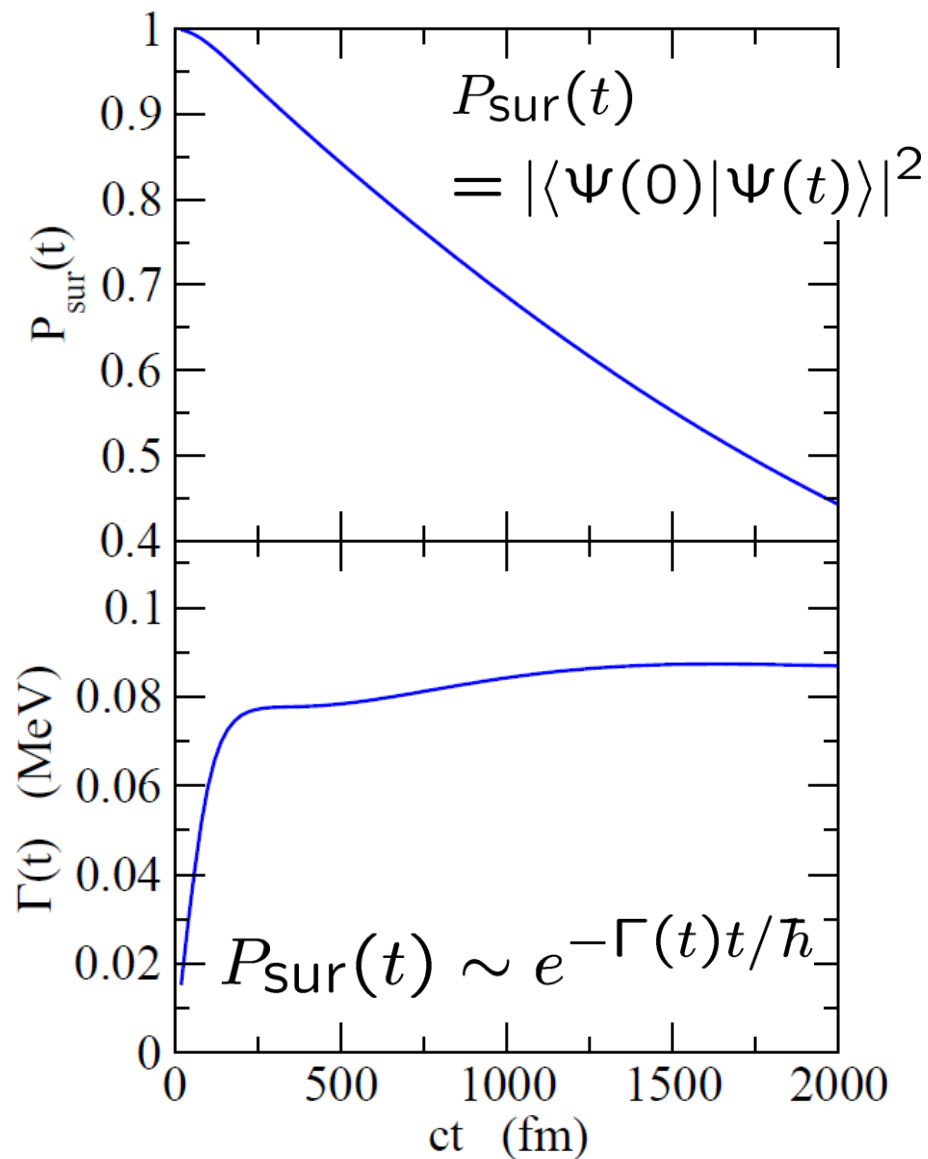
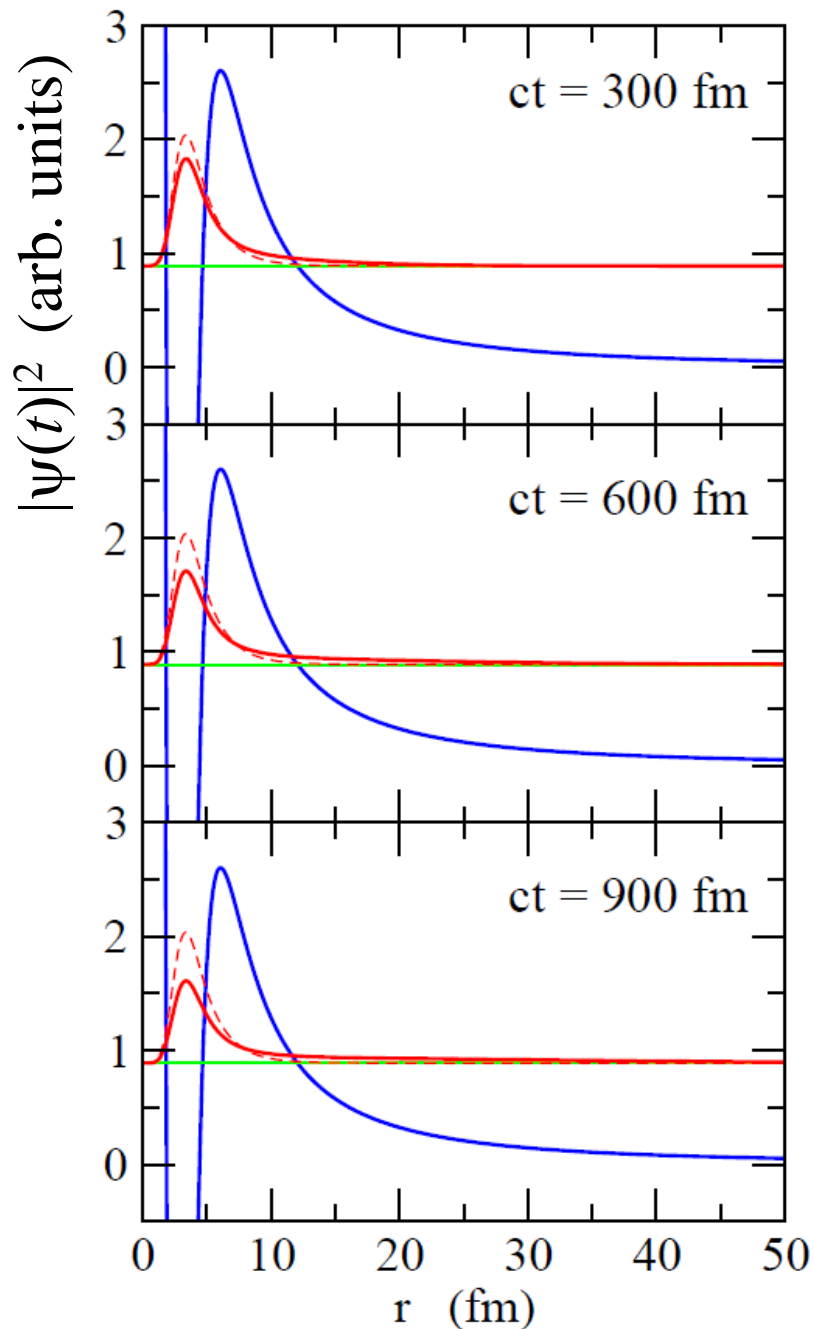
$|\psi(t)|^2$ (arb. units)



時間
発展



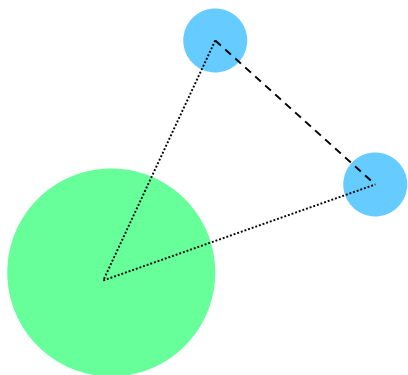
時間発展法による量子トンネル崩壊の記述



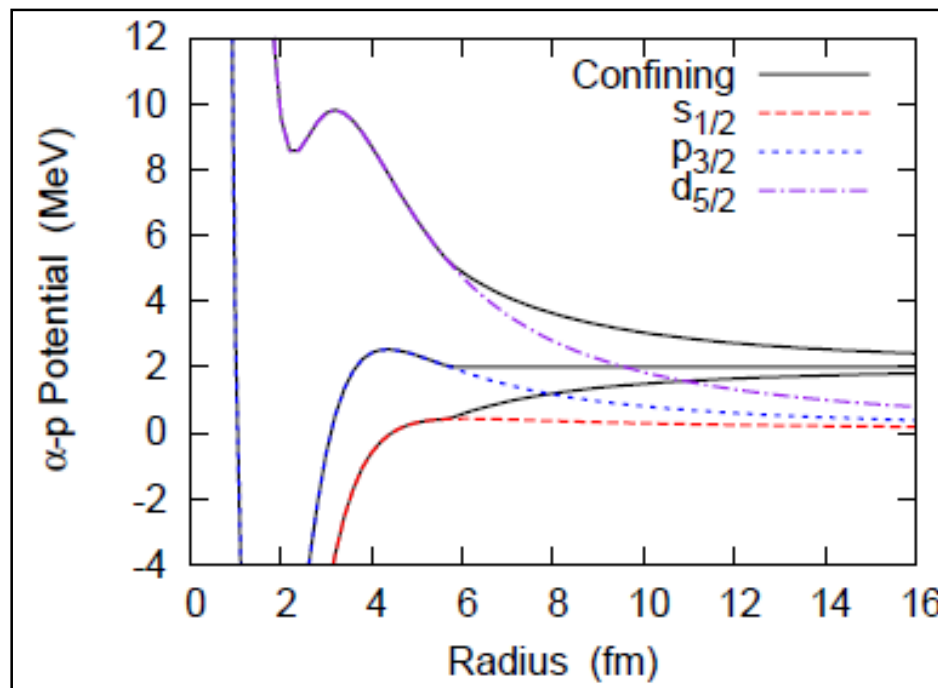
この方法を3体模型に適用

時間発展法による2陽子放出崩壊の記述

$$H = \frac{p_1^2}{2\mu} + \frac{p_2^2}{2\mu} + V_{nC}(r_1) + V_{nC}(r_2) + v_{nn} + \frac{p_1 \cdot p_2}{A_{cm}}$$

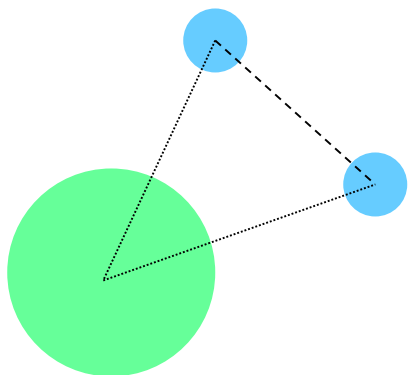


- ① $V_{nC}(r) \rightarrow V_{nC}^{\text{mod}}(r)$ としてポテンシャル内部に閉じ込められた波束をつくる。



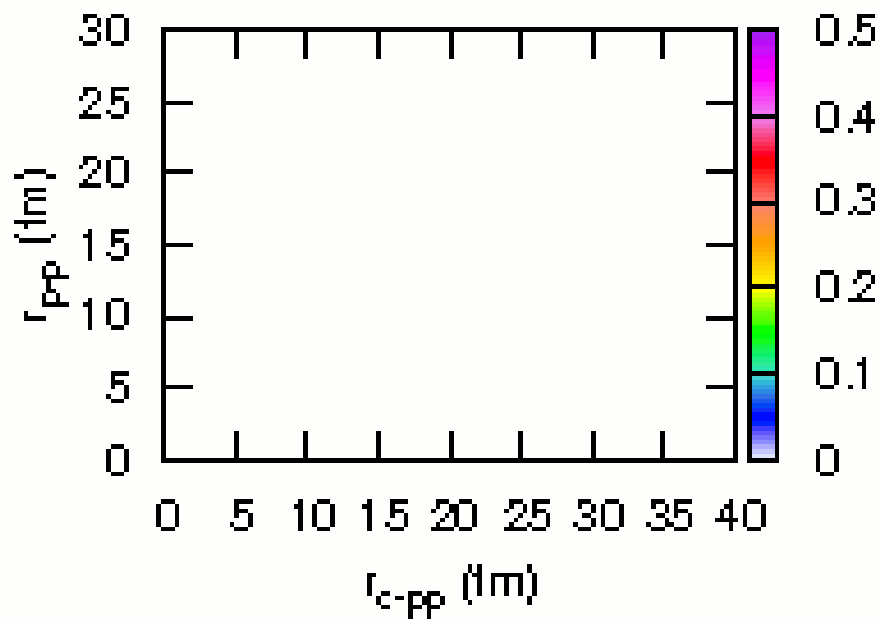
時間発展法による2陽子放出崩壊の記述

$$H = \frac{p_1^2}{2\mu} + \frac{p_2^2}{2\mu} + V_{nC}(r_1) + V_{nC}(r_2) + v_{nn} + \frac{p_1 \cdot p_2}{A_c m}$$

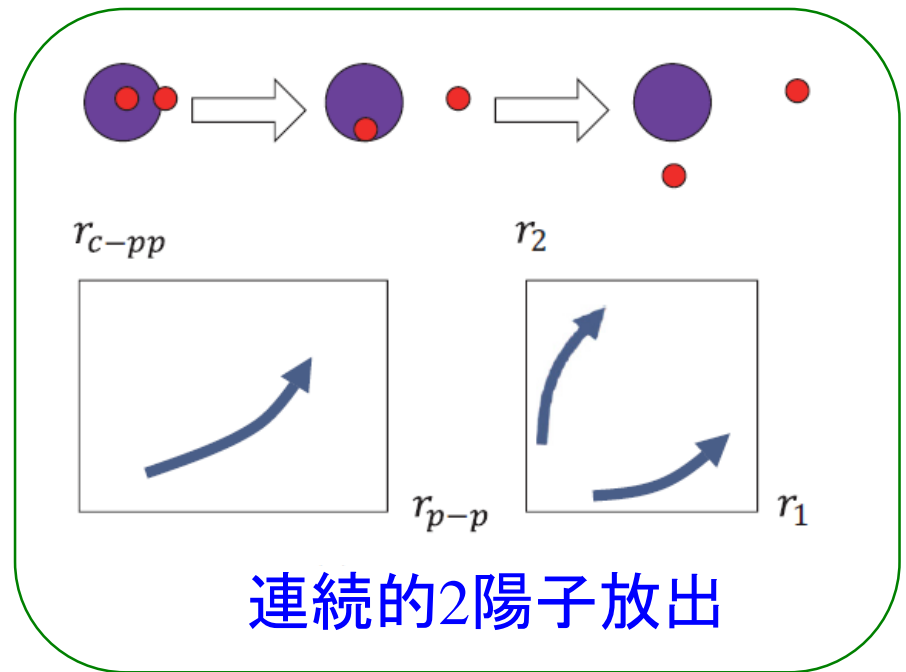
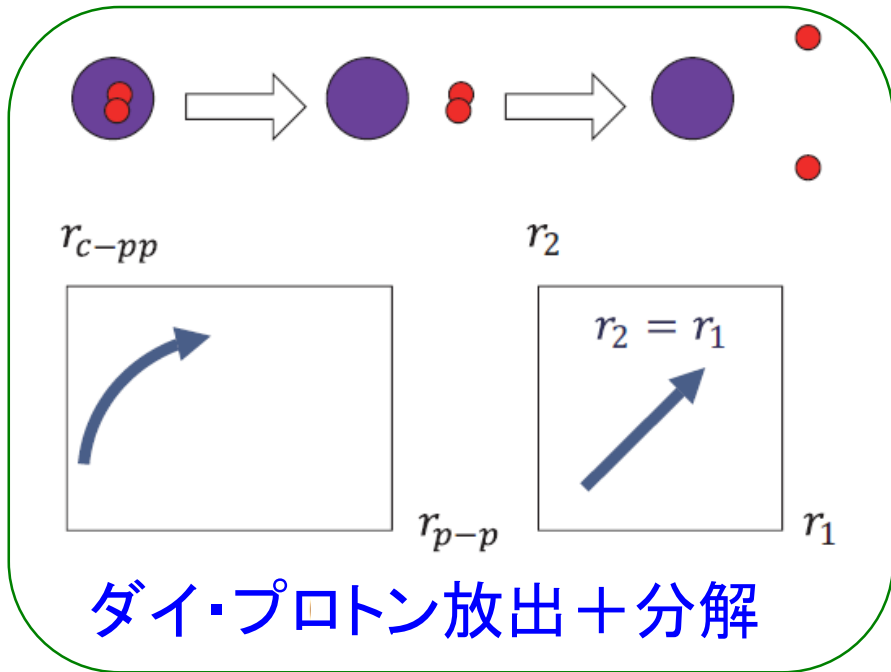
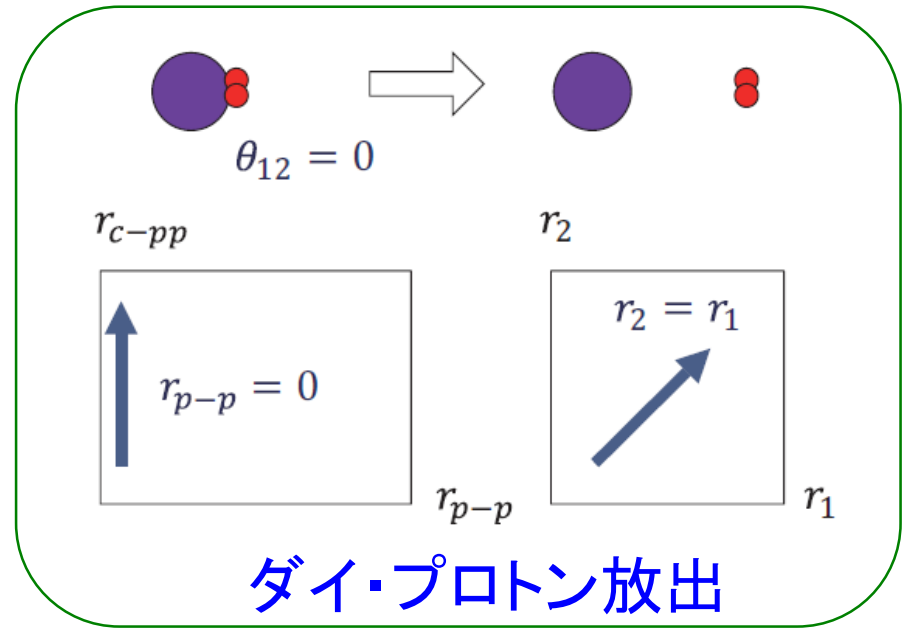


- ① $V_{nC}(r) \rightarrow V_{nC}^{\text{mod}}(r)$ としてポテンシャル内部に閉じ込められた波束をつくる。
- ② $t = 0$ で $V_{nC}^{\text{mod}}(r) \rightarrow V_{nC}(r)$ と戻し、波束の時間発展をモニターする。

$c1 = 0$ (fm)

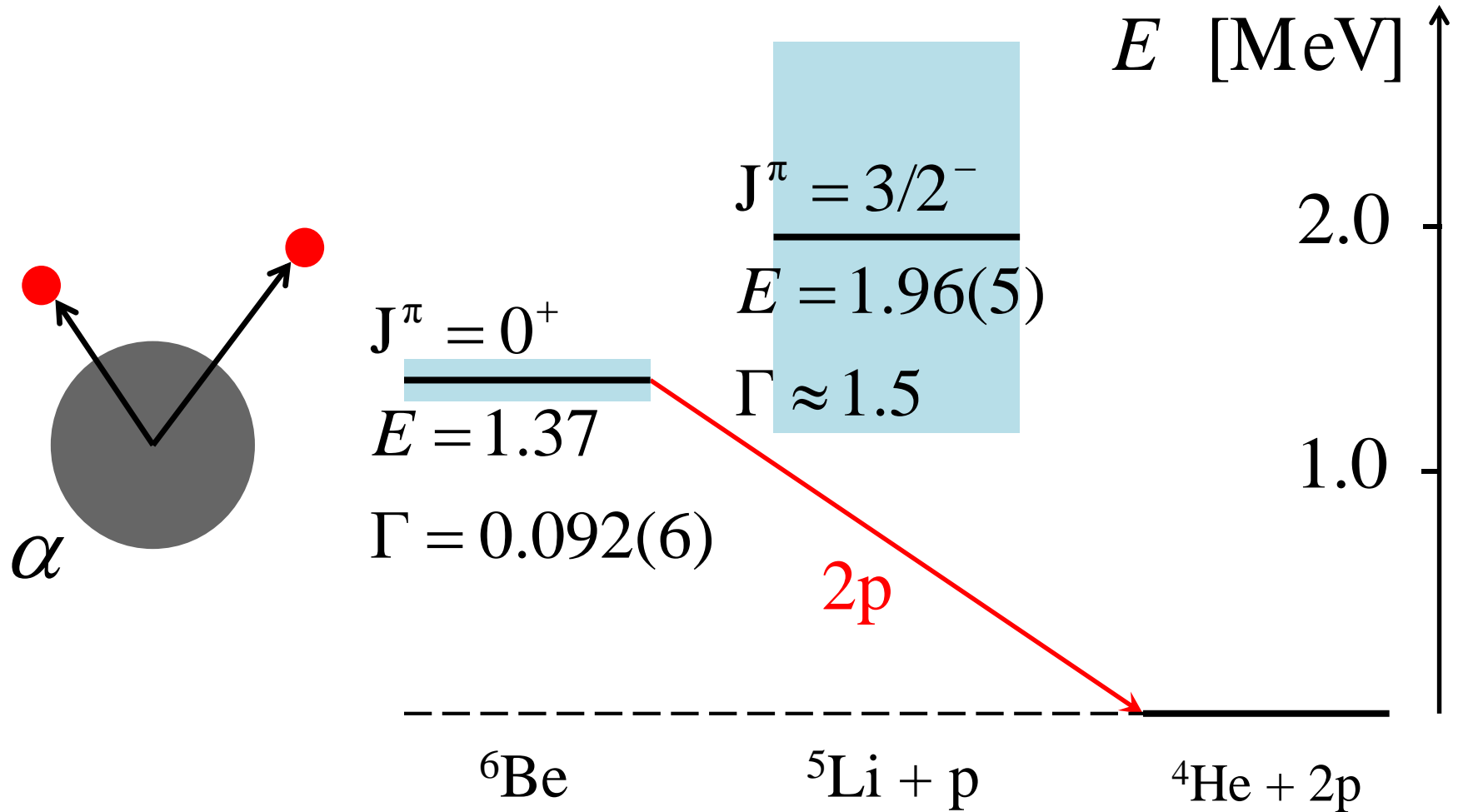


T座標のプロットとV座標の
 プロットを組合せ
 →崩壊のダイナミクス



${}^6\text{Be} \rightarrow {}^4\text{He} + \text{p} + \text{p}$ 崩壊への適用

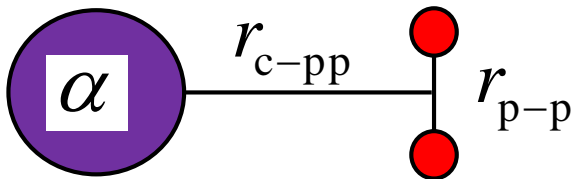
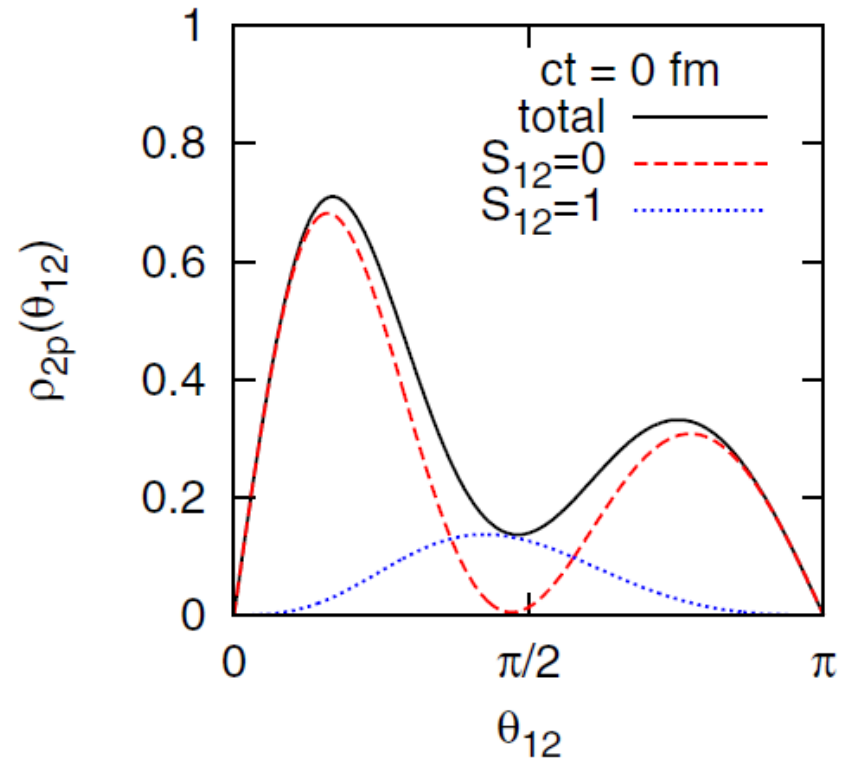
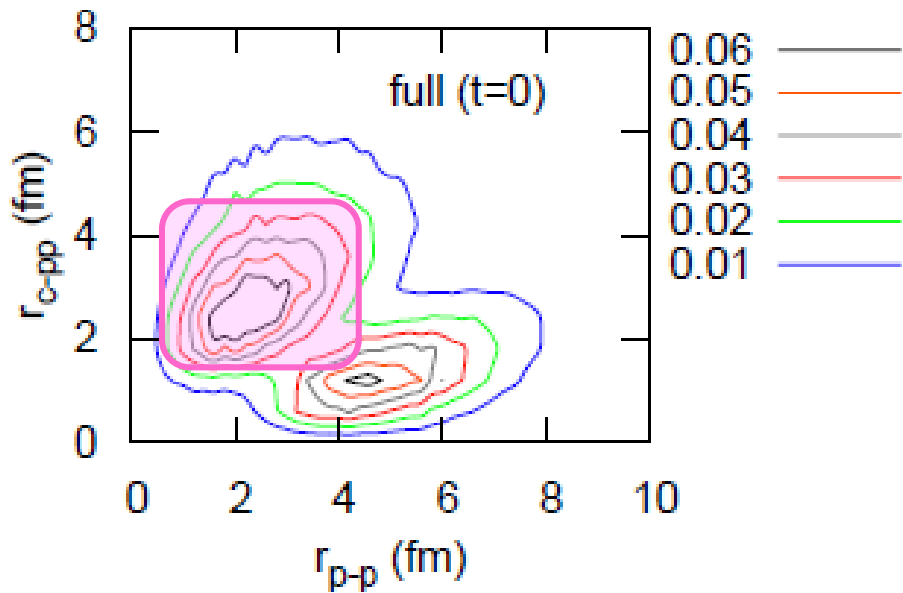
T. Oishi, K.H., and H. Sagawa, PRC90 ('14) 034303



中間状態 (${}^5\text{Li}$) の幅が大きいものの、「正真正銘」の2陽子崩壊に近い状況

初期波動関数

一粒子ポテンシャルを変形させて2陽子を閉じ込める

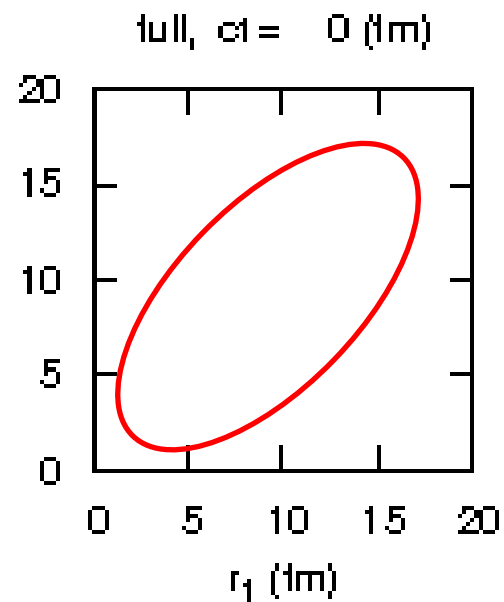
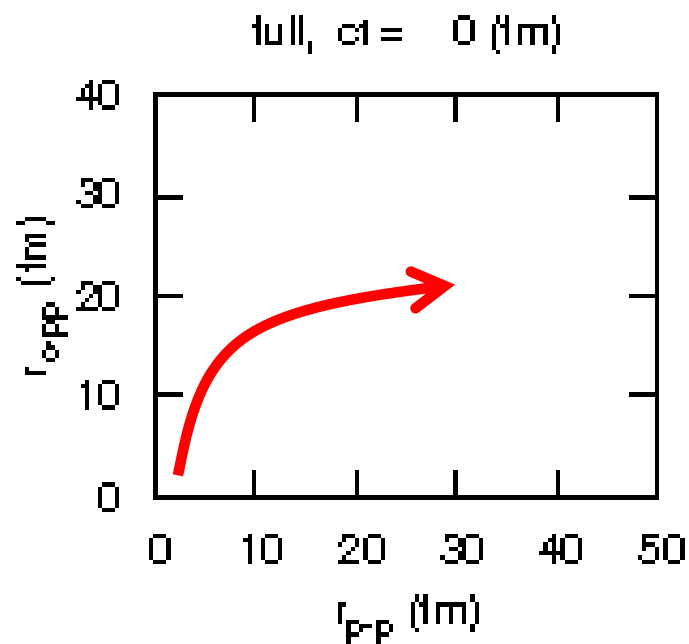


密度分布の偏り
=ダイ・プロトン相関

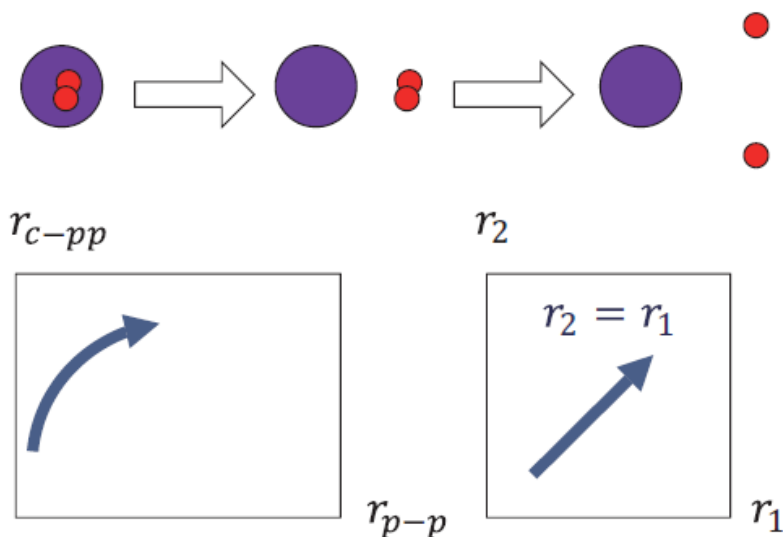
時間発展

$$\Psi(r_1, r_2; t) = C(t)\Psi_0(r_1, r_2) + \Psi_d(r_1, r_2; t)$$

として $\Psi_d(t)$ に関する密度分布をプロット



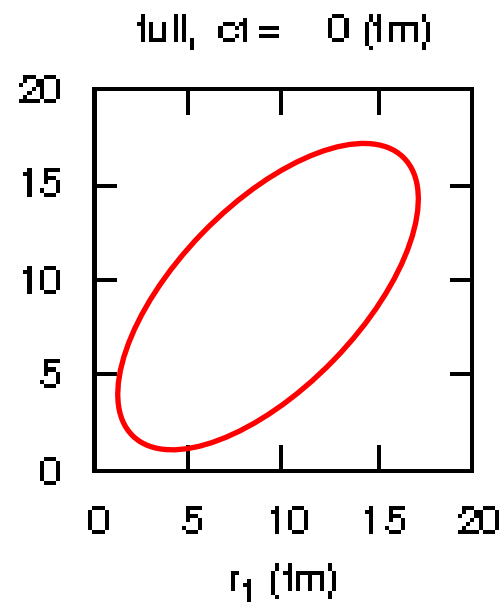
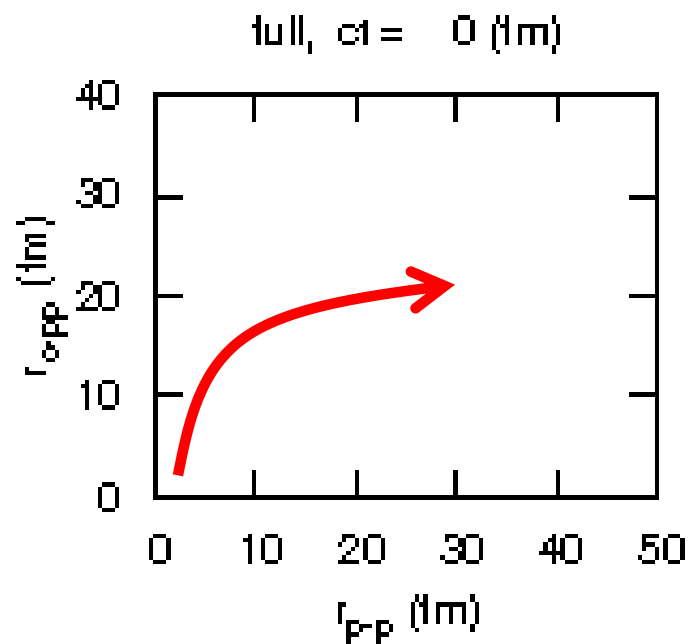
時間発展



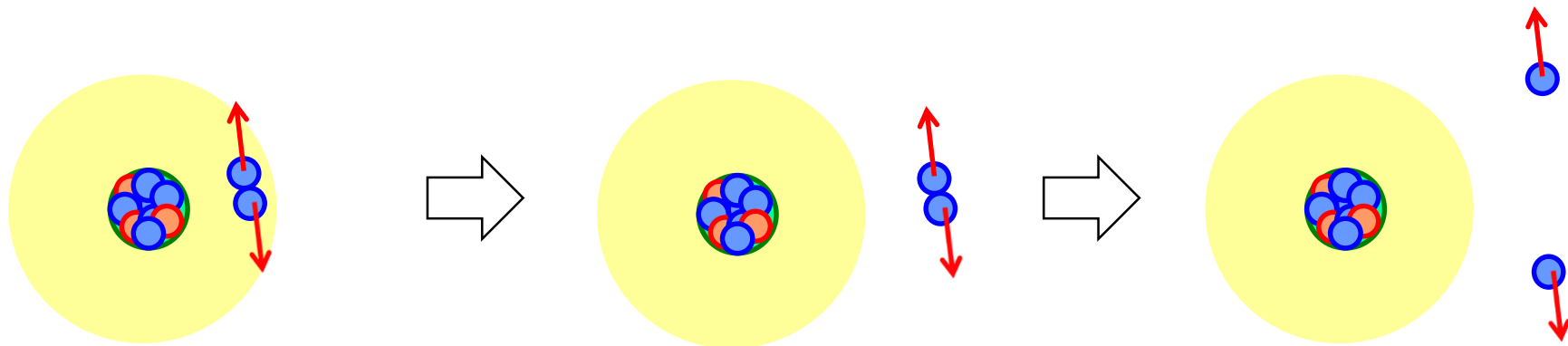
ダイ・プロトン放出
+ 分解

相関ありの
三体崩壊

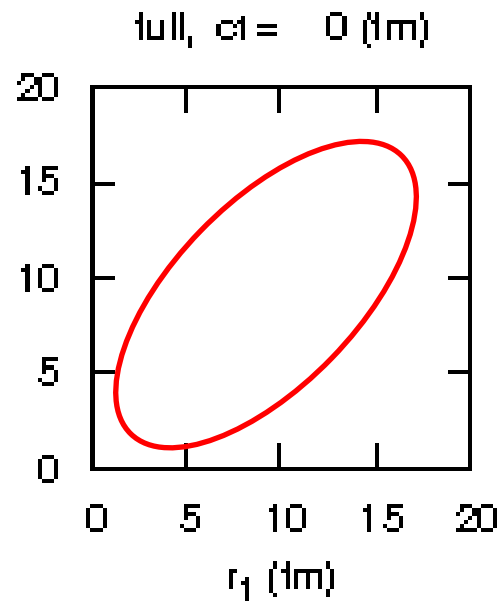
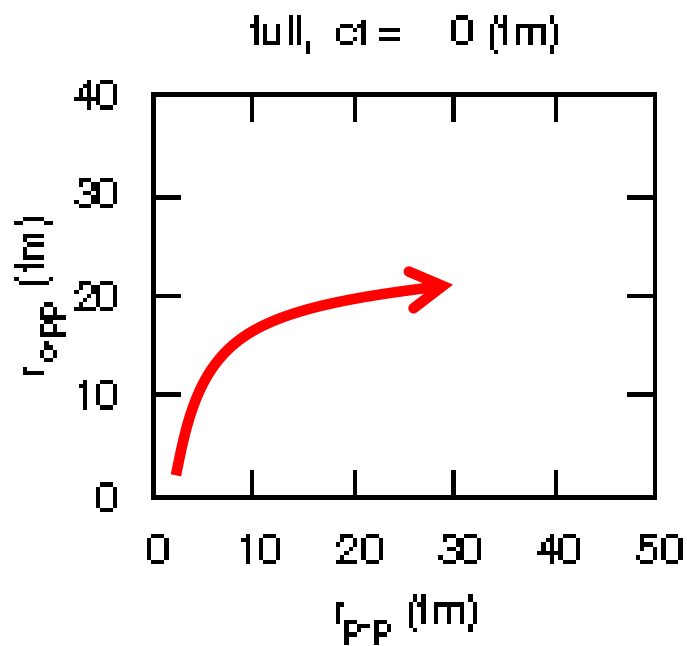
(e) correlated



時間発展

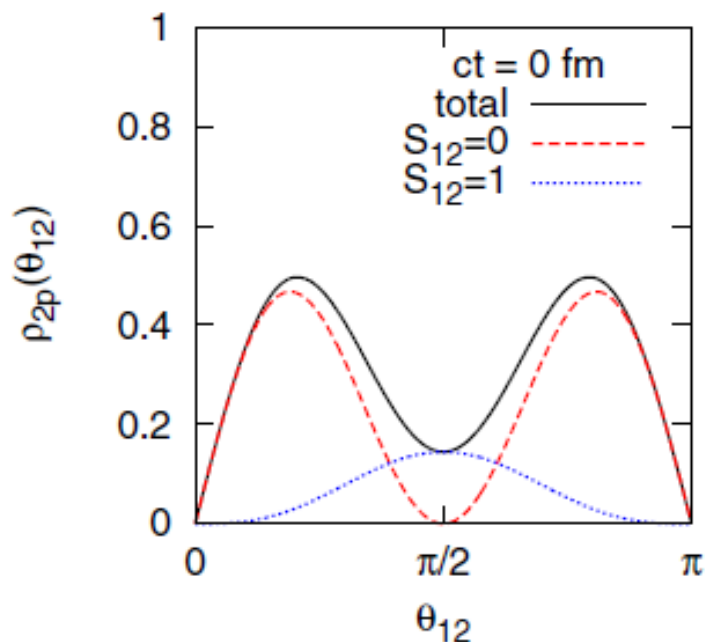


この予想通りの2陽子放出



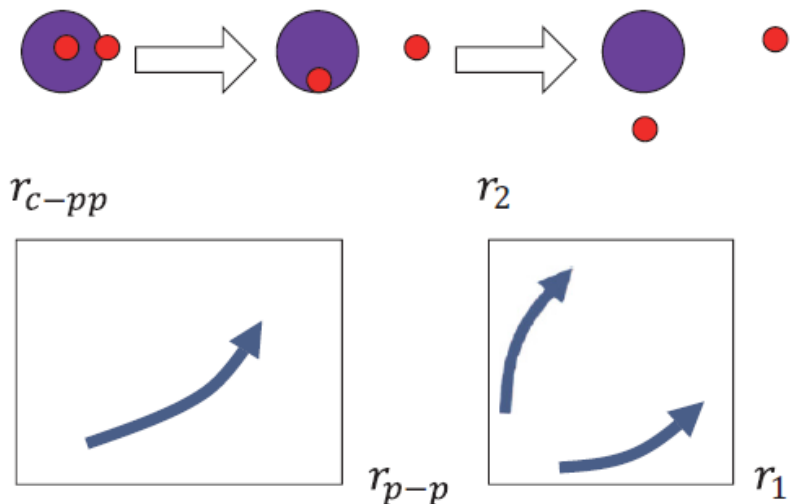
ダイ・プロトン相関の果たす役割

- ✓ p^2, f^2, h^2 の配位のみ取り入れる → 奇数角運動量のみ
- ✓ pp 間の引力を強めて Q 値が同じになるようにする (V_{cp} は同じ)

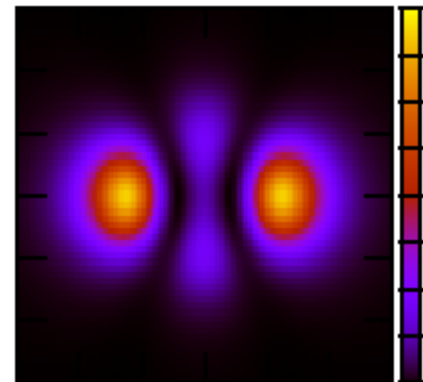


初期分布

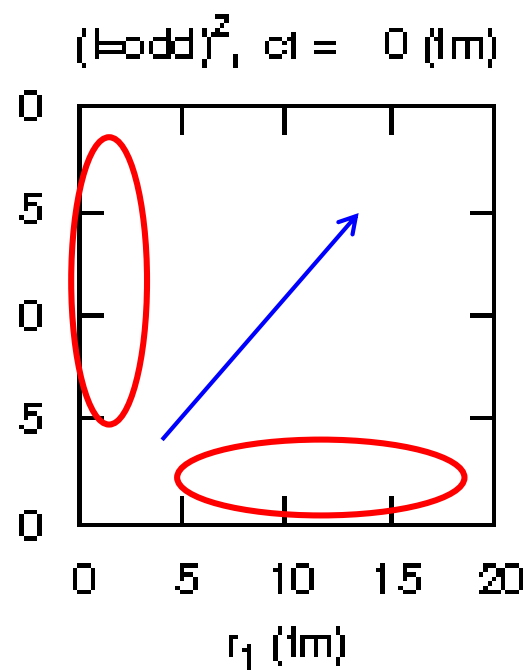
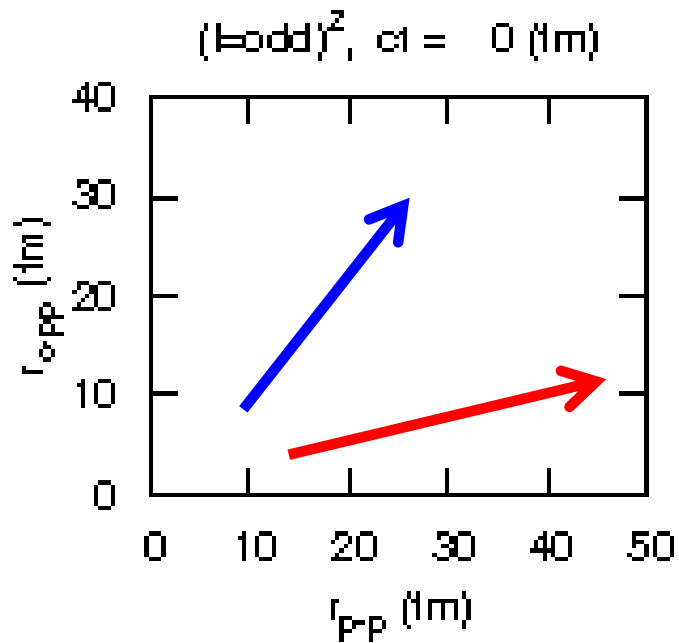
: 対称的な分布 (ダイ・プロトン相関なし)

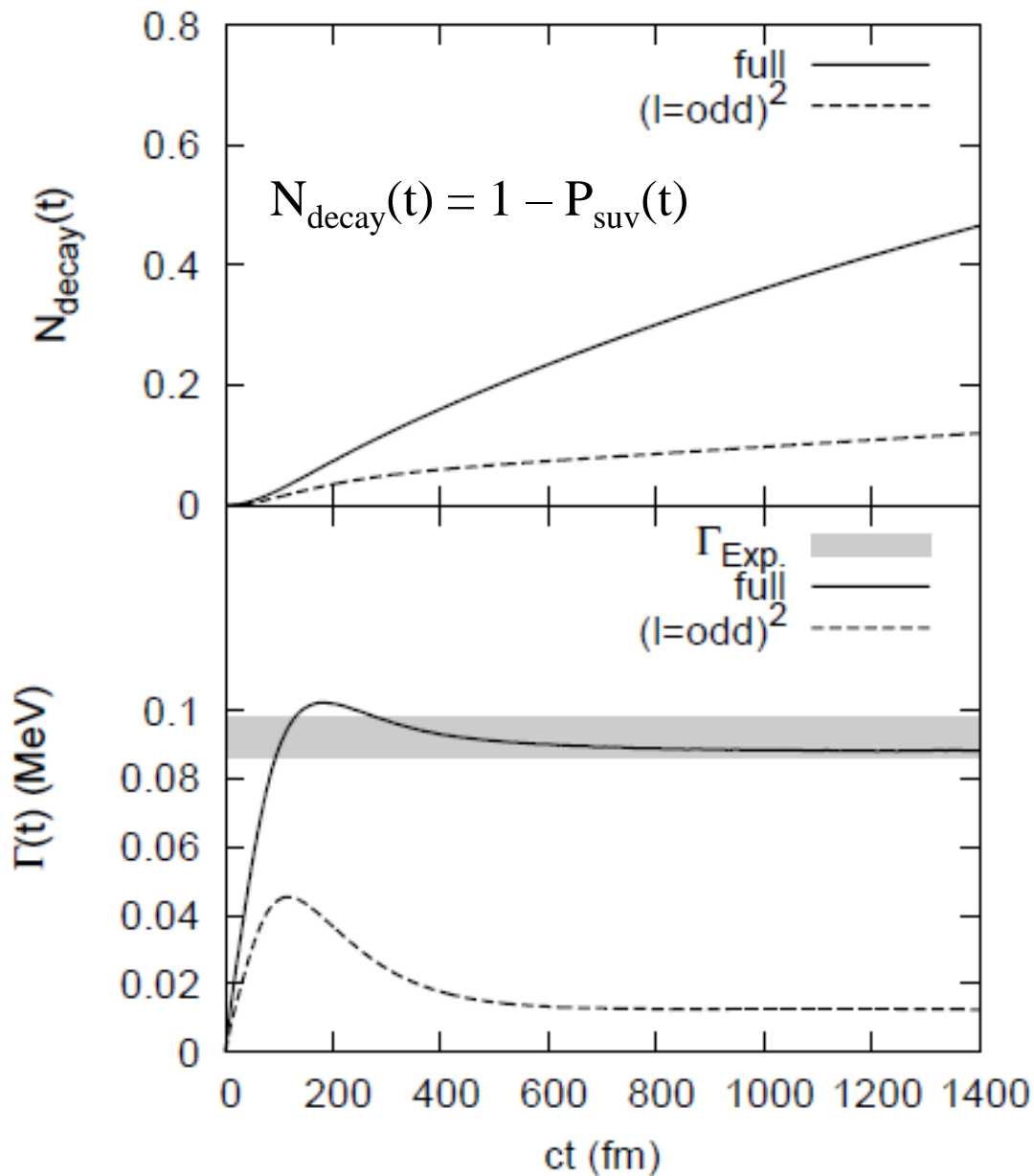


(f) sequential



correlated な成分と
anti-correlated な成分の両方
(連続的放出が主成分)



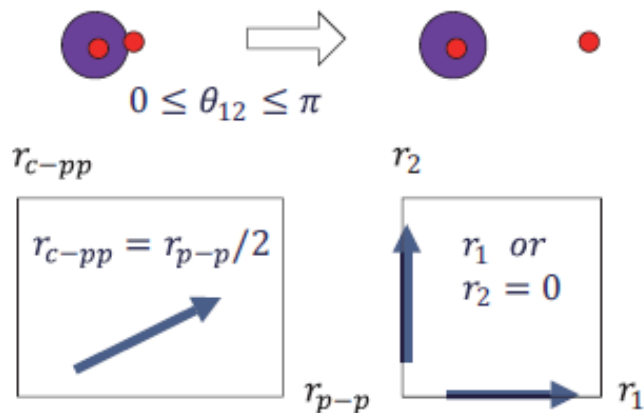


$l = \text{odd}$ に限定した計算は
崩壊幅を過小評価

- ✓ダイ・プロトンのな成分が小
- ✓ s^2 成分が入っていない

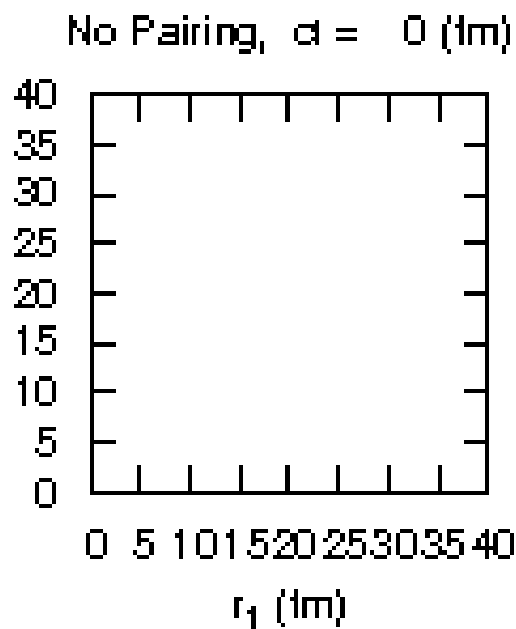
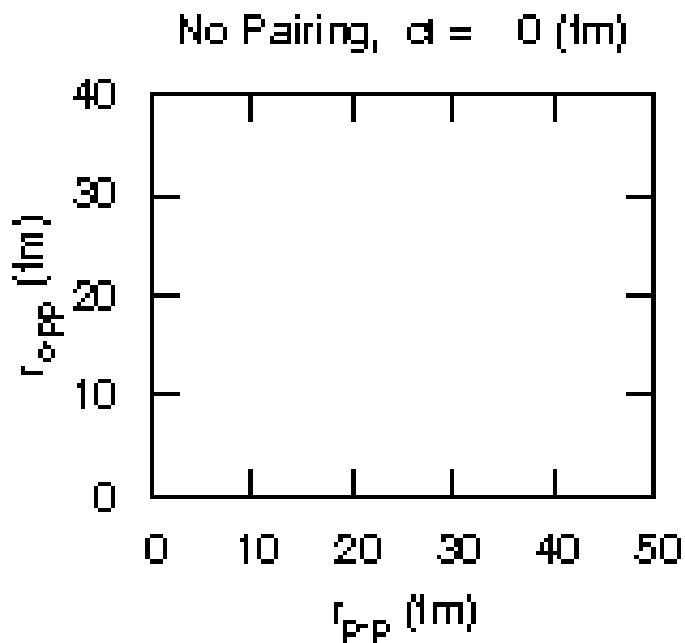
対相関の果たす役割

$v_{pp} = 0$ とし、 Q 値を再現するように一粒子ポテンシャルを深くする

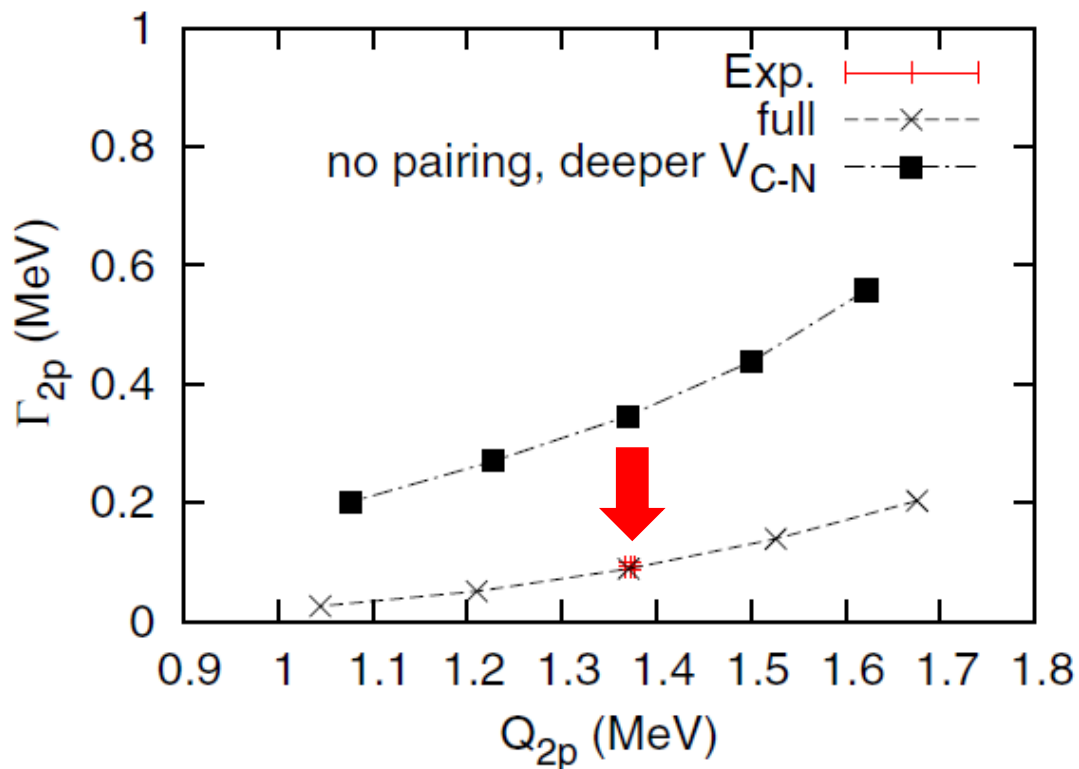


(d) one-proton

純粹な1陽子放出の連続

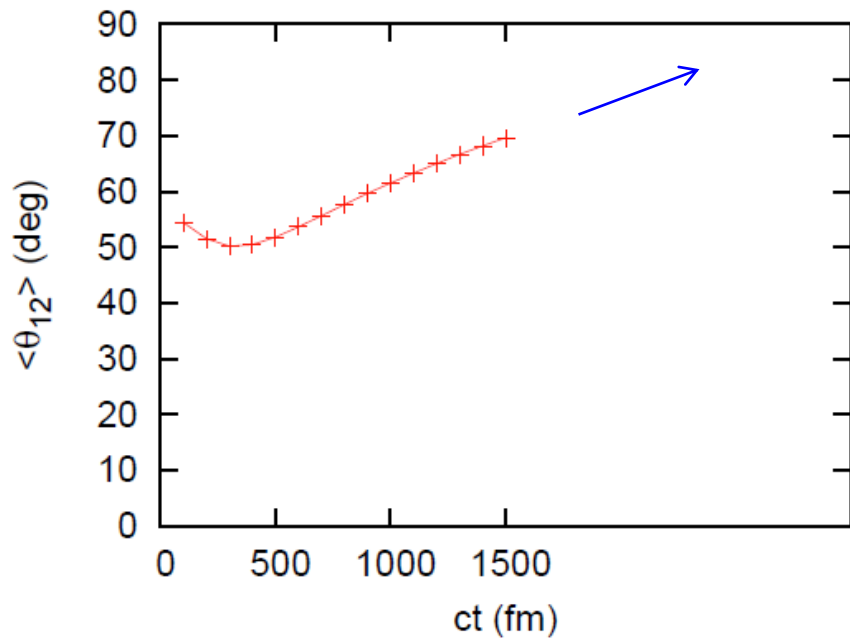


V_{cp} を変化させて Q_{2p} を変える



同じ Q_{2p}
→ pairing なしの方が
深い核力ポテンシャル
(低い障壁)
→ 崩壊幅が大きくなる

対相関により崩壊幅が減少する

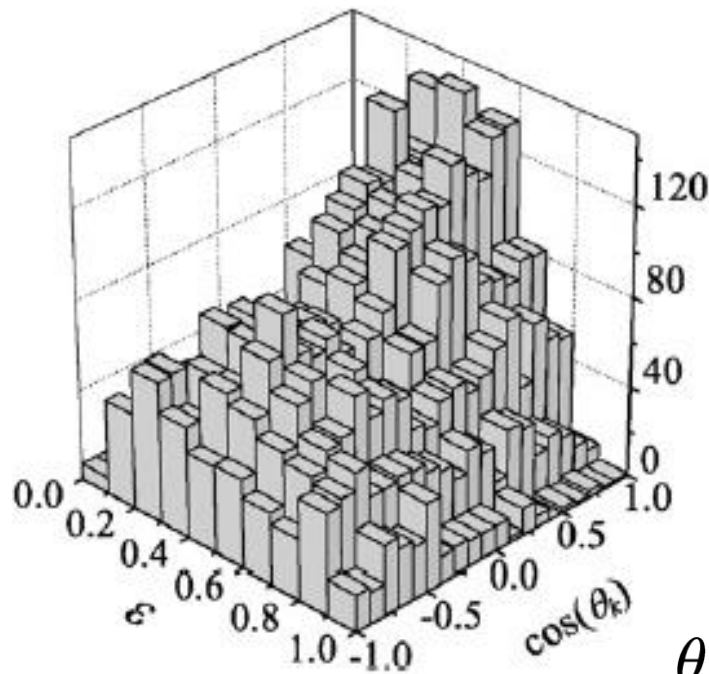


実験データとの比較

→より長時間の時間発展が必要

Grigorenko によると、 $R \sim 10^5$ fm
くらいまでとらないと収束しない
(長距離クーロン力のため)

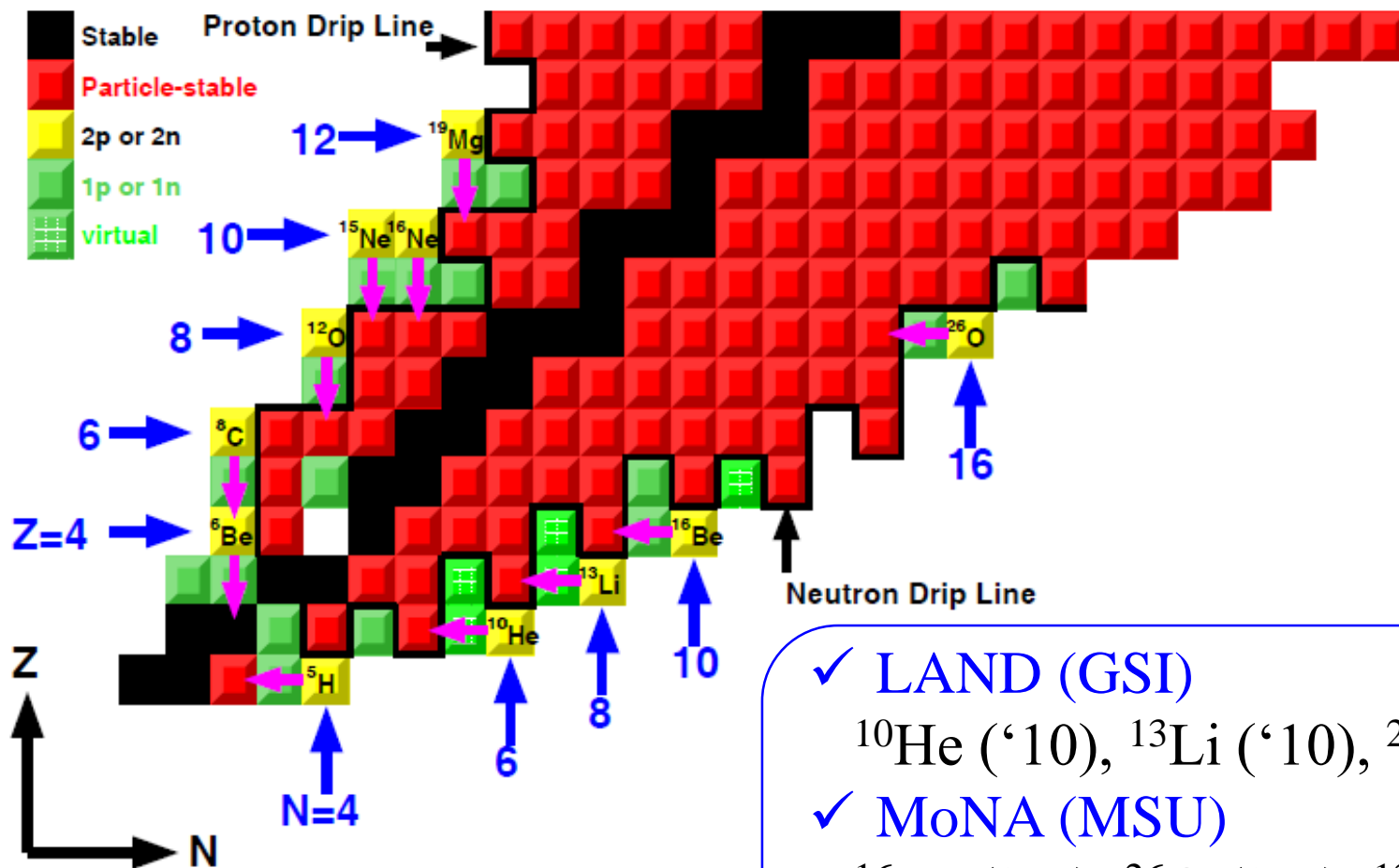
← 計算上挑戦的課題



$$\theta_k \sim \pi - \theta_{12}$$

L.V. Grigorenko et al.,
PLB677 ('09) 30

2中性子放出崩壊現象



- ✓ LAND (GSI)
 ^{10}He ('10), ^{13}Li ('10), ^{26}O ('13)
- ✓ MoNA (MSU)
 ^{16}Be ('12), ^{26}O ('12), ^{13}Li ('13)
- ✓ SAMURAI (RIKEN)
 ^{26}O ('16), ^{28}O (解析中)

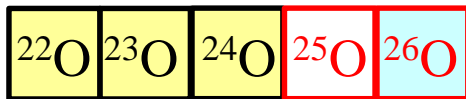
^{26}O 核の2中性子放出崩壊

E. Lunderbert et al., PRL108 ('12) 142503 (MSU)

C. Caesar et al., PRC88 ('13) 034313 (GSI)

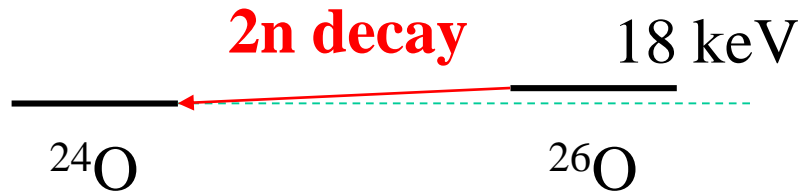
Y. Kondo et al., PRL116 ('16) 102503 (RIKEN)

どの実験も $^{27}\text{F} \rightarrow ^{26}\text{O} \rightarrow ^{24}\text{O} + 2n$

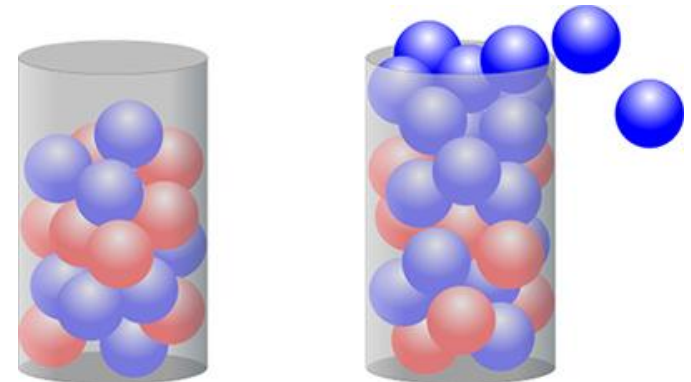


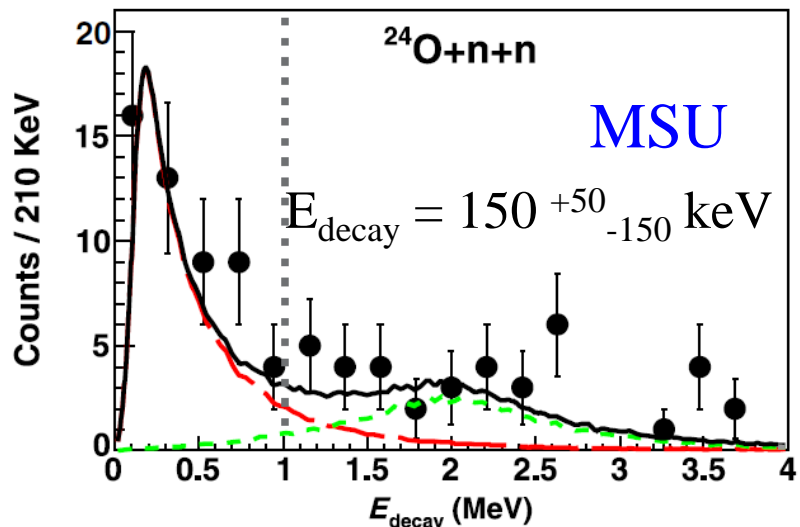
$\frac{749 \text{ keV}}{^{25}\text{O}}$

$E(^{26}\text{O}) = 150^{+50}_{-150} \text{ keV (MSU)}$
 $< 40 \text{ keV}/120 \text{ keV (GSI)}$
(68%/95% conf. level)
 $= 18 \text{ +/- } 3 \text{ +/- } 4 \text{ keV (RIKEN)}$

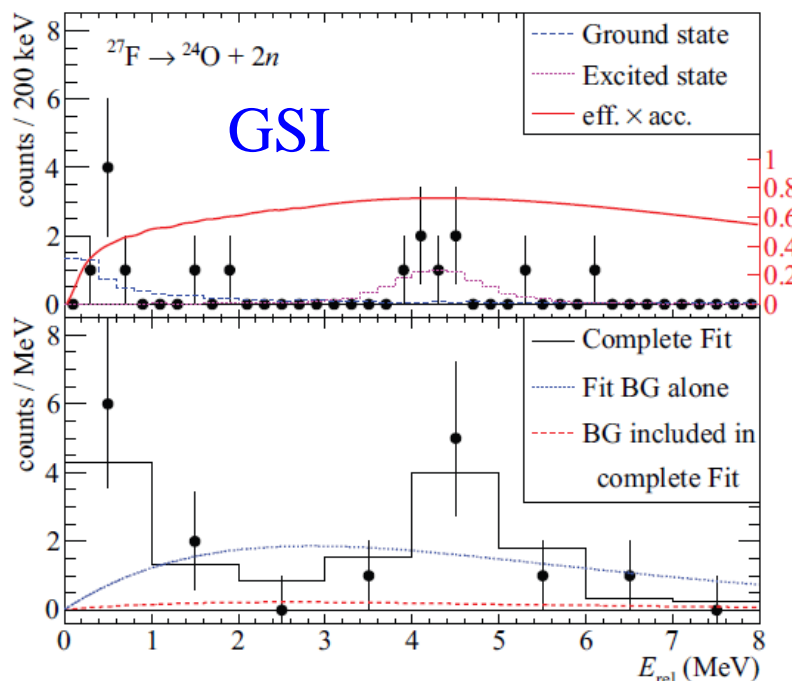


(中性子ドリップ線)



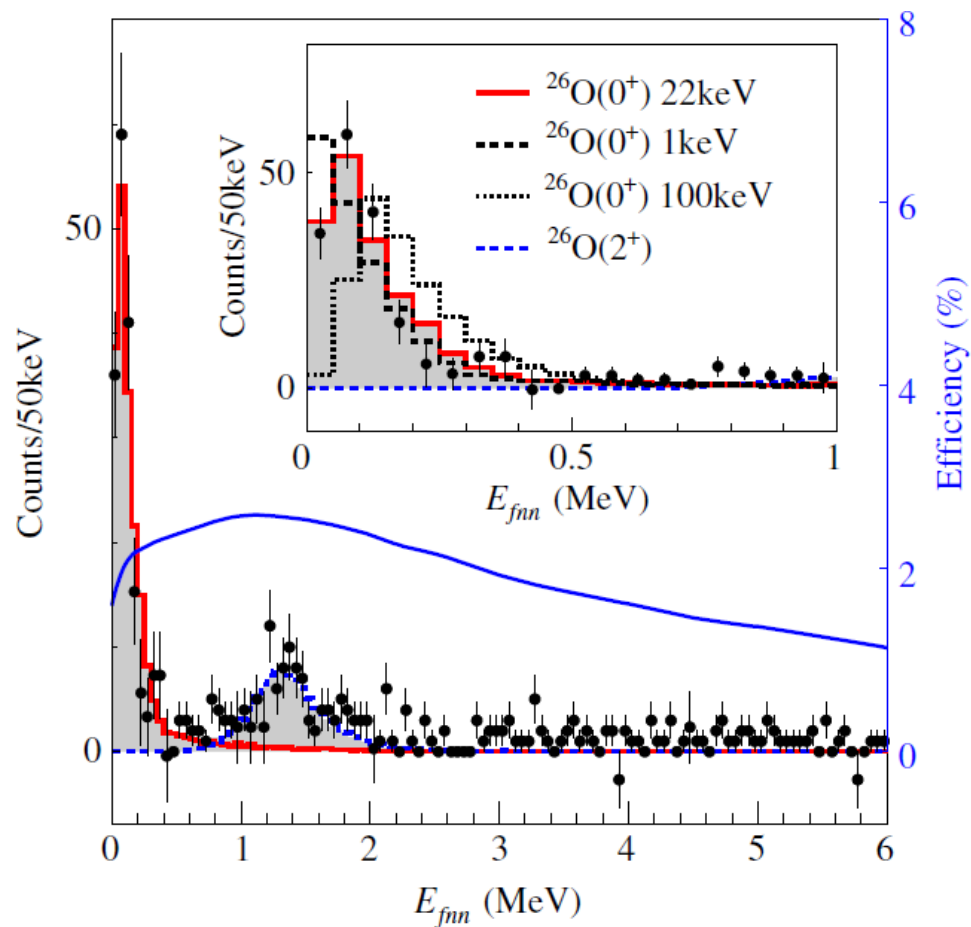


E. Lunderberg et al.,
PRL108 ('12) 142503



C. Caesar et al., PRC88 ('13) 034313

RIKEN



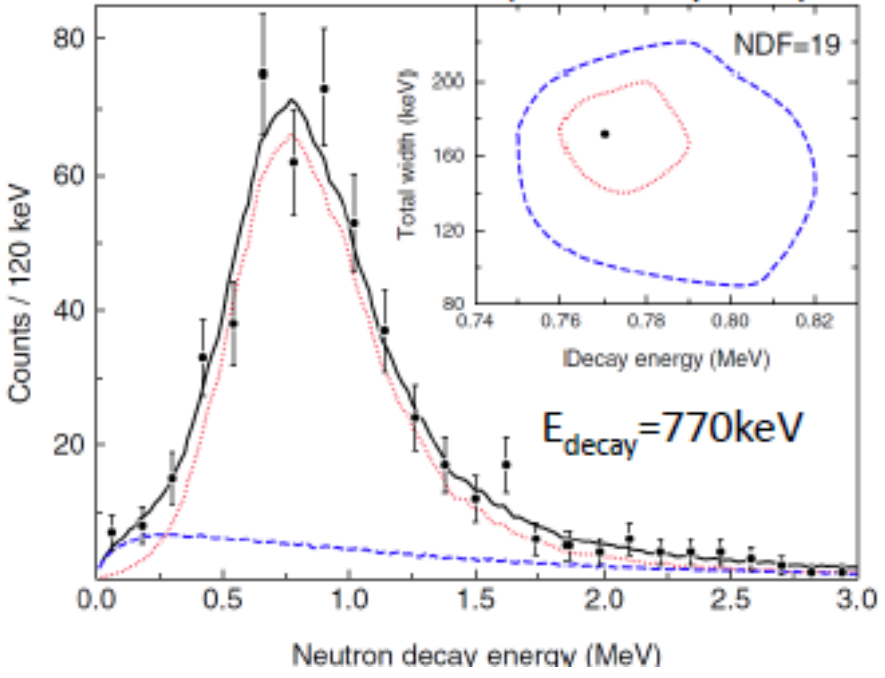
Y. Kondo et al., PRL116('16)102503



$$E_{\text{decay}} = 18 \pm 3 \pm 4 \text{ keV}$$

2体部分系 (^{25}O) の新スペクトル

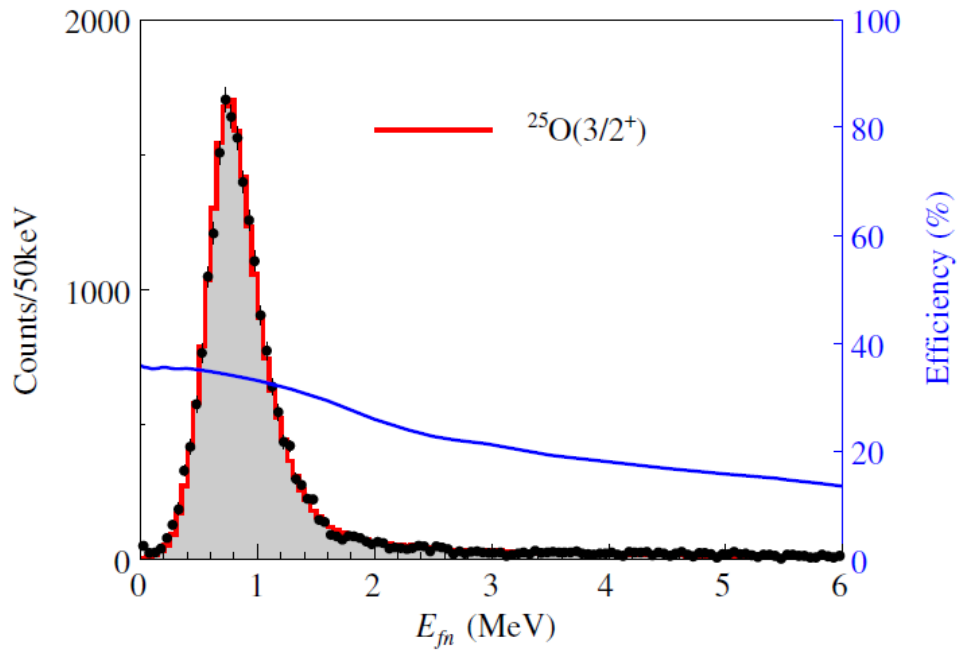
C.R.Hoffman et al.,
PRL100, 152502 (2008)



$$E = + 770^{+20}_{-10} \text{ keV}$$

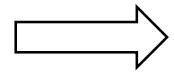
$$\Gamma = 172(30) \text{ keV}$$

Y. Kondo et al., PRL116('16)102503



$$E = + 749 (10) \text{ keV}$$

$$\Gamma = 88 (6) \text{ keV}$$

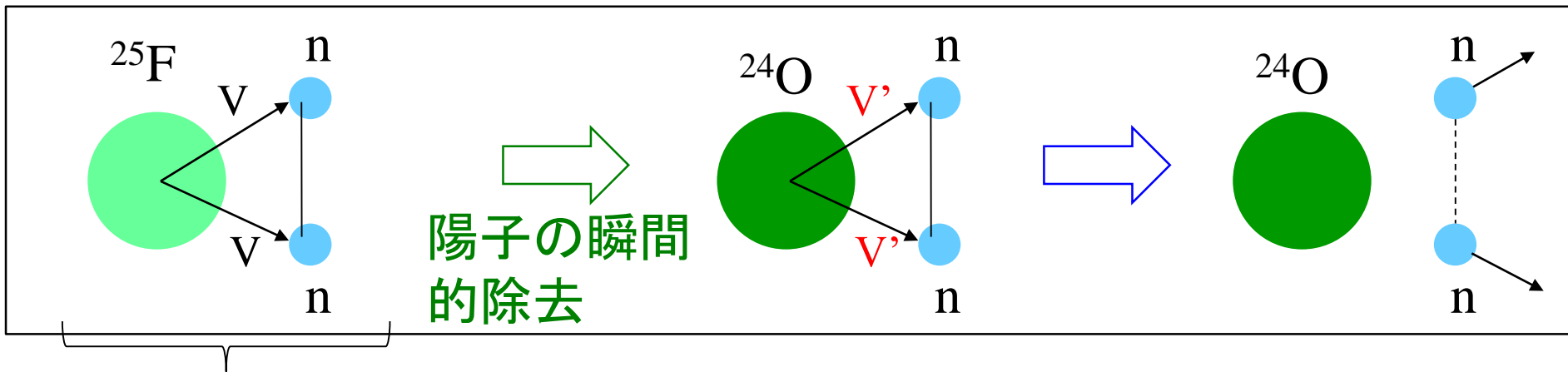


$n + ^{24}\text{O}$ 模型と矛盾しない値

3体模型による ^{26}O の2中性子放出崩壊の解析

K.H. and H. Sagawa,
 PRC89 ('14) 014331;
 PRC93 ('16) 034330

cf. 実験 : ^{27}F (201 MeV/u) + ^9Be \rightarrow ^{26}O \rightarrow ^{24}O + n + n



^{27}F の基底状態(束縛)

$$\underbrace{\psi_{nn} \otimes |^{25}\text{F}\rangle}_{\text{同じ配位(初期波束)}} \xrightarrow{\text{陽子の瞬間的除去}} \underbrace{\psi_{nn} \otimes |^{24}\text{O}\rangle}_{\text{同じ配位(初期波束)}} \xrightarrow{\text{自発的な崩壊}}$$

同じ配位(初期波束)

FSI \rightarrow グリーン関数法 \leftarrow 連続状態

3体模型による ^{26}O の2中性子放出崩壊の解析

崩壊スペクトル:

$$\frac{dP}{dE} = \int dE' |\langle \Psi_{E'} | \Phi_0 \rangle|^2 \delta(E - E') = \frac{1}{\pi} \Im \langle \Phi_0 | \frac{1}{H - E - i\eta} | \Phi_0 \rangle$$

$= G(E)$

cf. ボロミアン核のクーロン励起

$$\frac{dB(E1)}{dE} \propto \sum_f |\langle \Psi(E_f) | \hat{D}_0 | \Psi_0 \rangle|^2 \delta(E - E_f) = \frac{1}{\pi} \Im \langle \Psi_0 | \hat{D}_0^\dagger G(E) \hat{D}_0 | \Psi_0 \rangle$$

* 今は自発的な崩壊なので外場 D_0 が不要

相関のあるグリーン関数:

$$G(E) = G_0(E) - G_0(E)v(1 + G_0(E)v)^{-1}G_0(E)$$

← 連続状態の効果

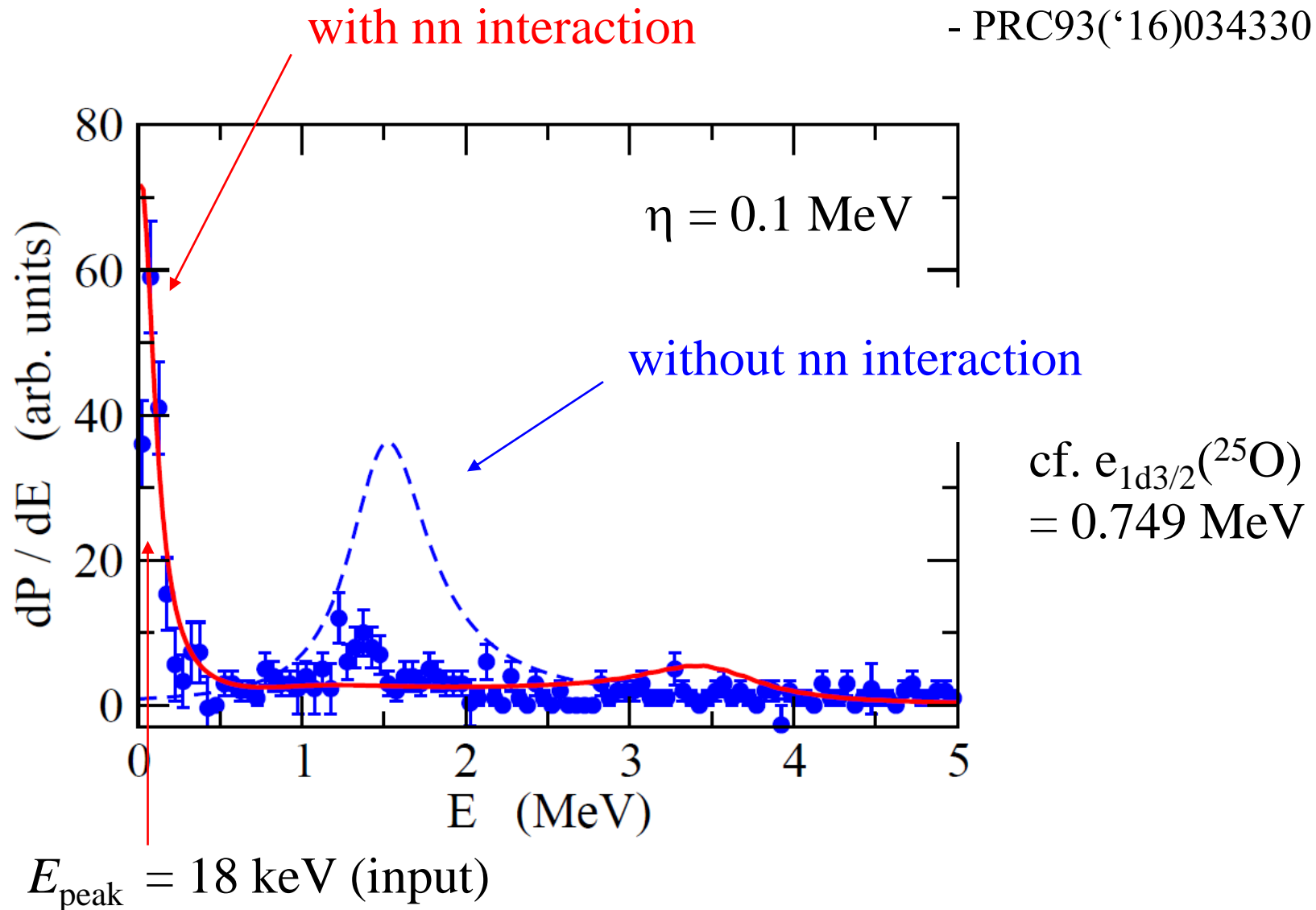
無相関グリーン関数

$$G_0(E) = \sum_{j_1, l_1} \sum_{j_2, l_2} \int de_1 de_2 \frac{|\psi_1 \psi_2 \rangle \langle \psi_1 \psi_2|}{e_1 + e_2 - E - i\eta}$$

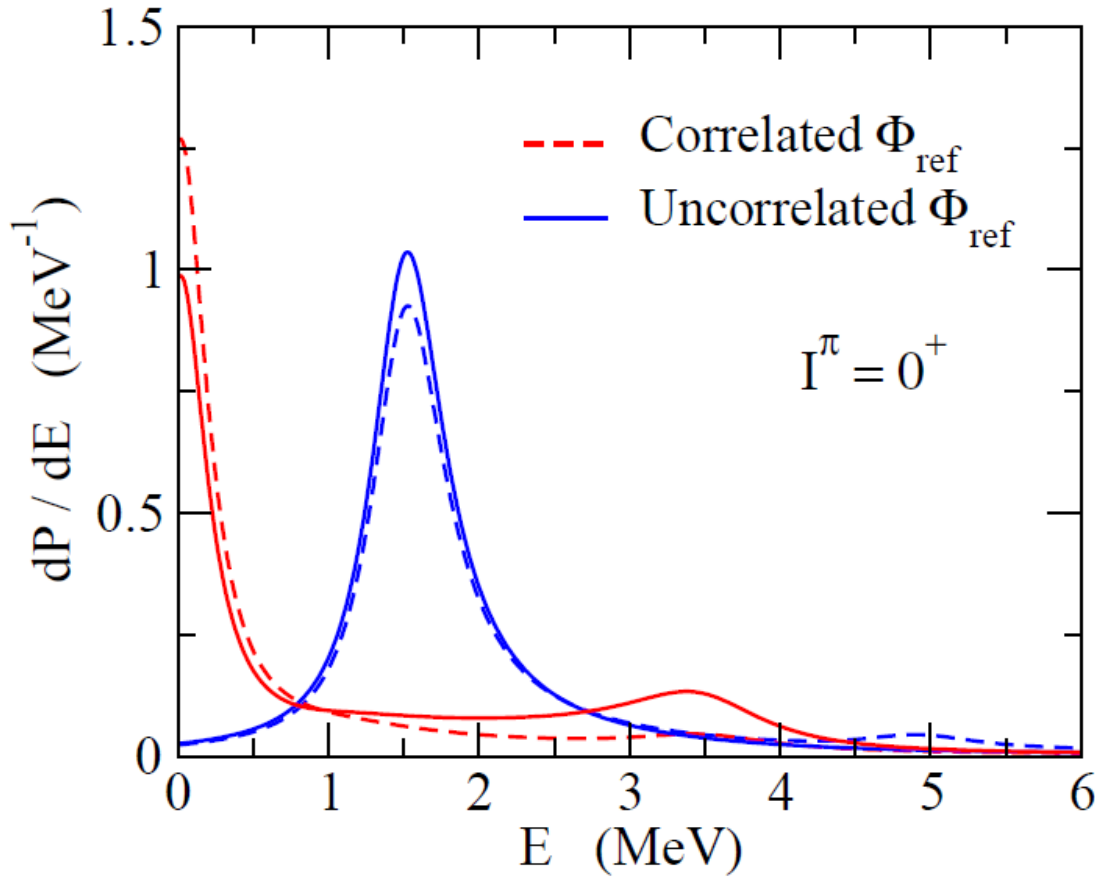
← small, finite η

崩壊エネルギー・スペクトル

K.H. and H. Sagawa,
- PRC89 ('14) 014331
- PRC93('16)034330



リファレンス状態: ^{27}F の束縛 $(d_{3/2})^2$ 状態



^{26}O がどのように
作られたかには
あまり依存しない

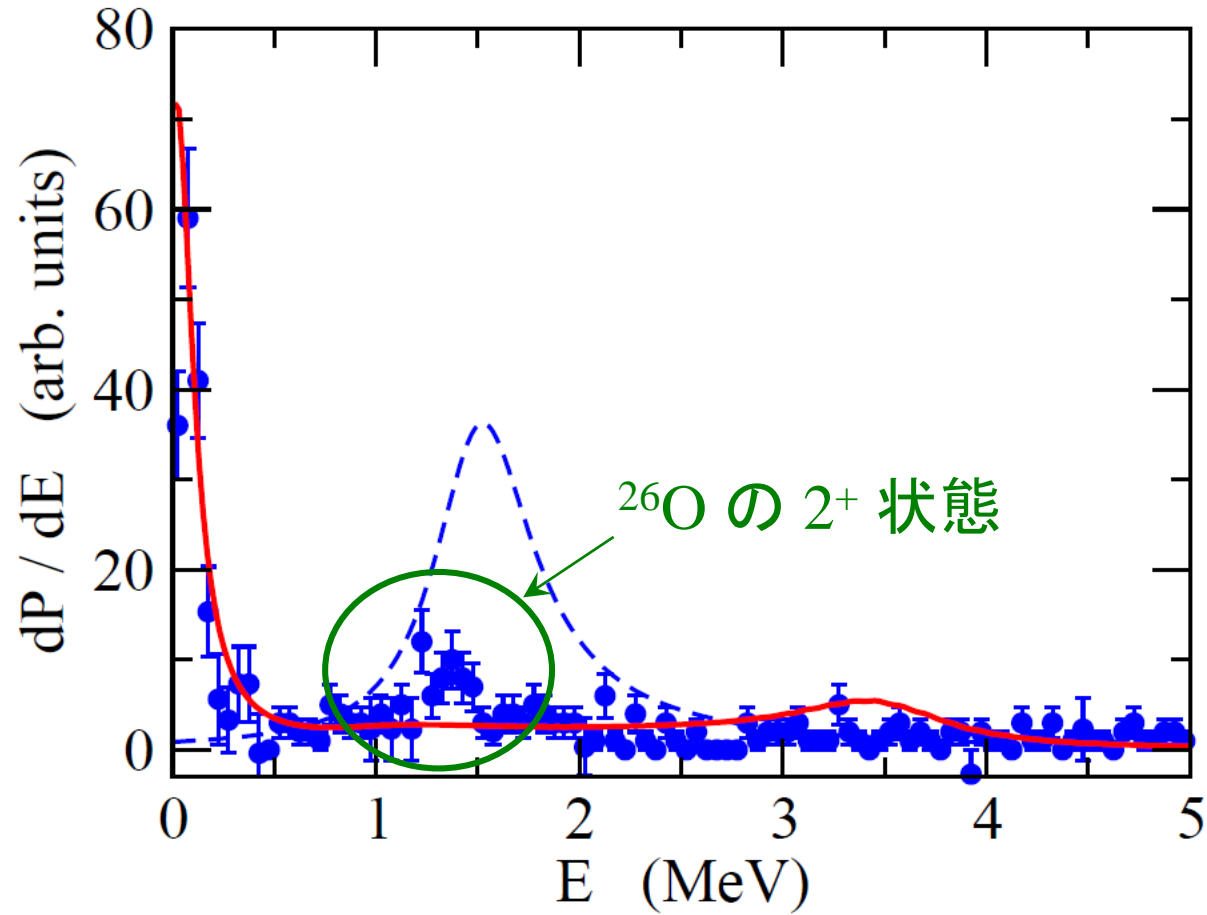


dP/dE :
 ^{26}O の3体共鳴
の性質

$$\frac{dP}{dE} = |\langle \Psi_E | \Phi_0 \rangle|^2 = \int dE' |\langle \Psi_{E'} | \Phi_0 \rangle|^2 \delta(E - E')$$

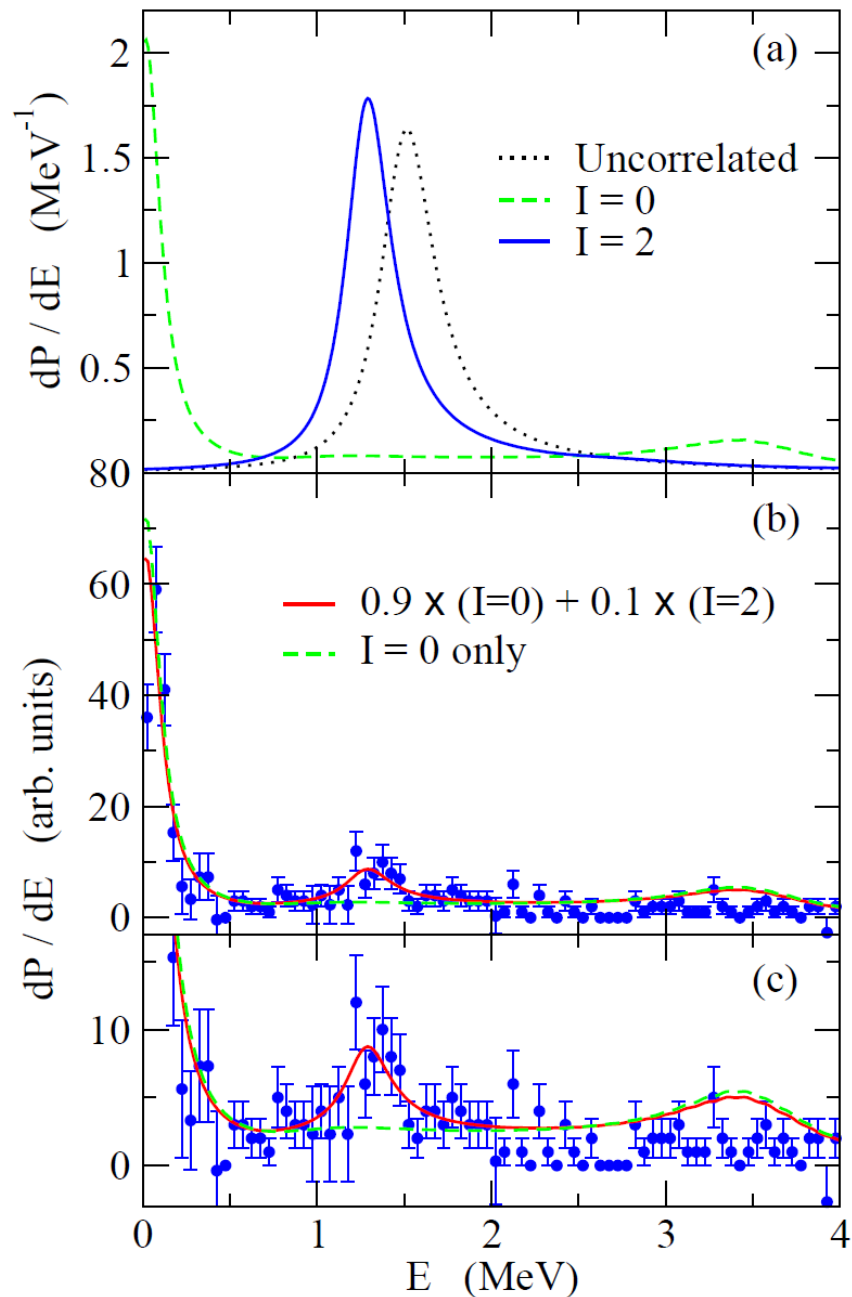
崩壊エネルギー・スペクトル

K.H. and H. Sagawa,
- PRC89 ('14) 014331
- PRC93('16)034330



^{26}O の 2^+ 状態

理研のデータ: $E \sim 1.28^{+0.11}_{-0.08}$ MeVに
明確なピーク



3体模型計算:

(MeV)

1.498 $\text{---} (d_{3/2})^2$
1.282 $\text{---} 2^+$

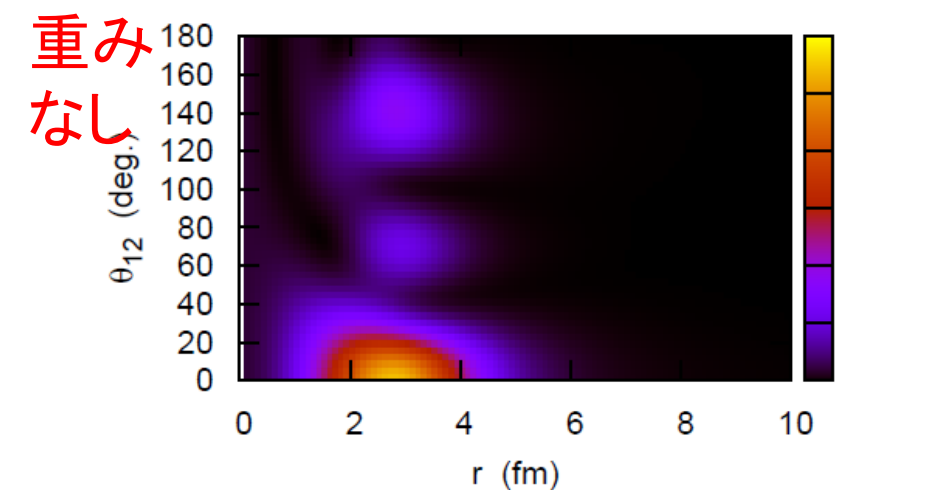
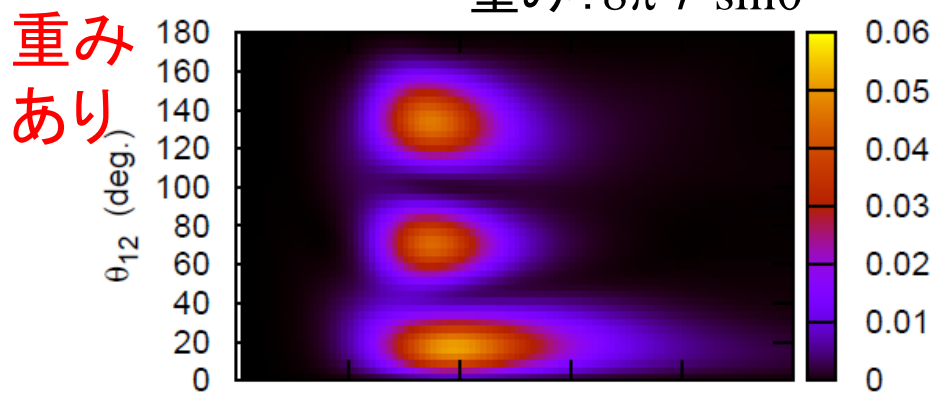
$\Gamma = 0.12$ MeV

0.018 $\text{---} 0^+$

K.H. and H. Sagawa,
PRC90('14)027303; PRC, 93('16) 034330.

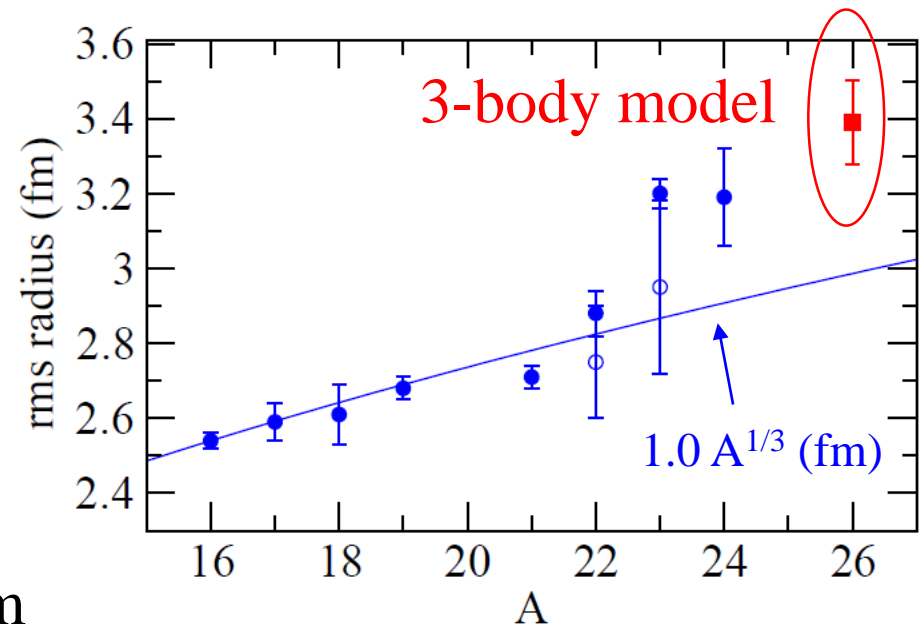
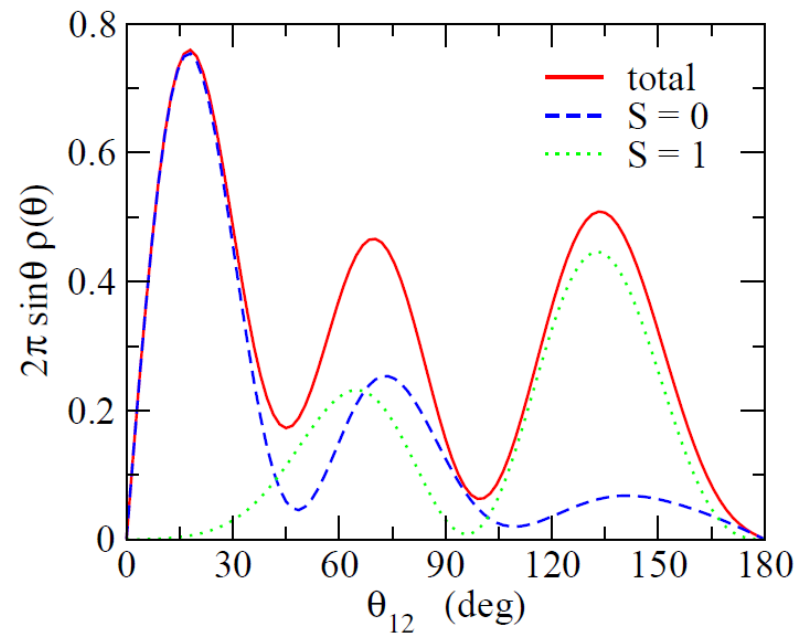
ボックス近似による2粒子密度:²⁶Oにおけるダイニュートロン相関

重み: $8\pi^2 r^4 \sin\theta$



- $(d_{3/2})^2 : 66.1\%$
- $(f_{7/2})^2 : 18.3\%$
- $(p_{3/2})^2 : 10.5\%$
- $(s_{1/2})^2 : 0.59\%$

rms radius = 3.39 ± 0.11 fm




放出2中性子の角度相関

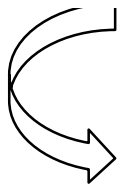
遷移振幅

$$G = (H - E - i\eta)^{-1} = (H_0 + v - E - i\eta)^{-1}$$

$$G_0 = (H_0 - E - i\eta)^{-1}$$


$$\Im[G] = (1 + G_0^\dagger v)^{-1} \Im[G_0] (1 + v G_0)^{-1}$$

$$\begin{aligned} \frac{dP}{dE} &= \frac{1}{\pi} \Im \langle \Phi_0 | G | \Phi_0 \rangle \\ &= \frac{1}{\pi} \langle \Phi_0 | (1 + G_0^\dagger v)^{-1} \Im[G_0] (1 + v G_0)^{-1} | \Phi_0 \rangle \\ &= \frac{1}{\pi} \Im \sum_f \frac{|\langle \psi_f^{(0)} | (1 + v G_0)^{-1} | \Phi_0 \rangle|^2}{E_f^{(0)} - E - i\eta} = \frac{1}{\pi} \Im \sum_f \frac{|M_{fi}|^2}{E_f^{(0)} - E - i\eta} \end{aligned}$$



$$M_{fi} = \langle \psi_f^{(0)} | (1 + v G_0)^{-1} | \Phi_0 \rangle$$

放出2中性子の角度相関

遷移振幅

$$G = (H - E - i\eta)^{-1} = (H_0 + v - E - i\eta)^{-1}$$

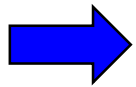
$$G_0 = (H_0 - E - i\eta)^{-1}$$



$$\frac{dP}{dE} = \frac{1}{\pi} \Im \langle \Phi_0 | G | \Phi_0 \rangle$$

$$= \frac{1}{\pi} \Im \sum_f \frac{|\langle \psi_f^{(0)} | (1 + vG_0)^{-1} | \Phi_0 \rangle|^2}{E_f^{(0)} - E - i\eta} = \frac{1}{\pi} \Im \sum_f \frac{|M_{fi}|^2}{E_f^{(0)} - E - i\eta}$$

$$M_{fi} = \langle \psi_f^{(0)} | (1 + vG_0)^{-1} | \Phi_0 \rangle$$



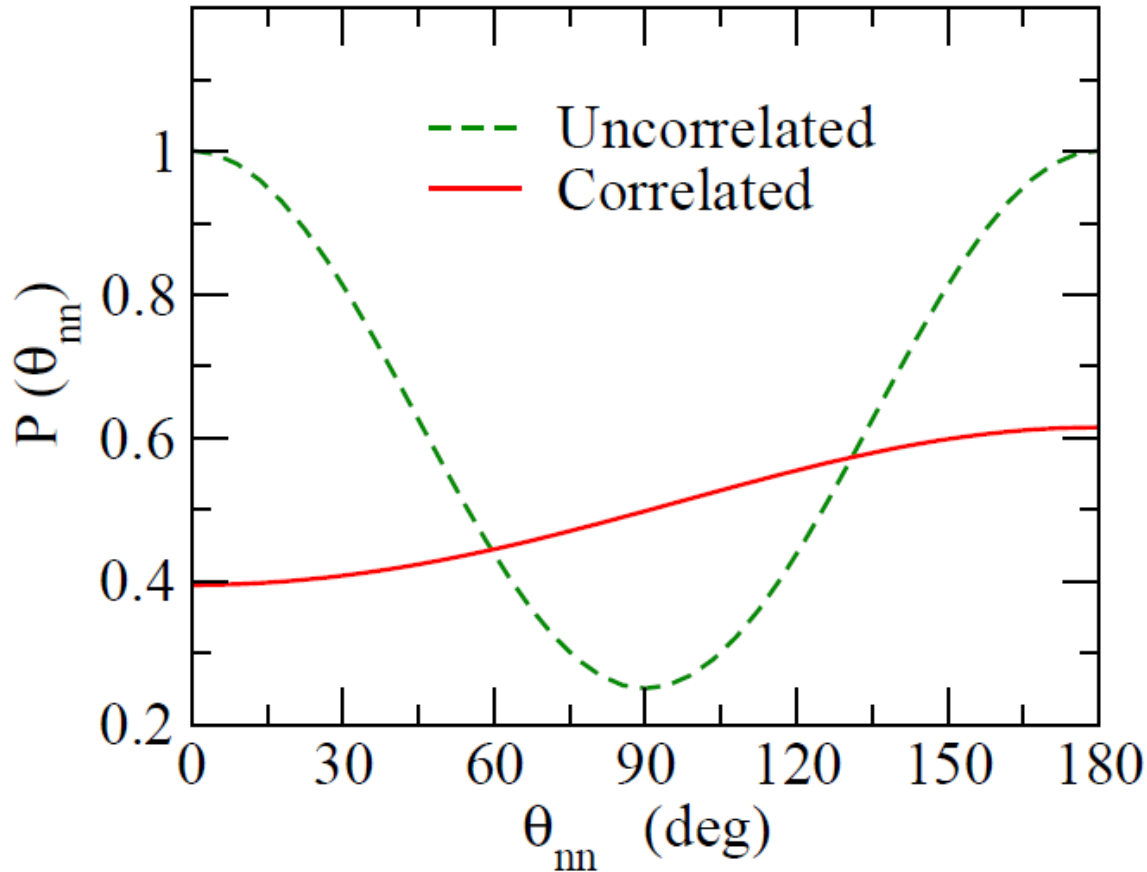
$$f(\mathbf{k}_1, \mathbf{k}_2) \sim \langle \psi_{\mathbf{k}_1}^{(0)} \psi_{\mathbf{k}_2}^{(0)} | (1 + vG_0)^{-1} | \Phi_0 \rangle$$

$$\frac{d^2P}{d\hat{\mathbf{k}}_1 d\hat{\mathbf{k}}_2} \sim \int k_1^2 dk_1 k_2^2 dk_2 |f(\mathbf{k}_1, \mathbf{k}_2)|^2$$

放出2中性子の角度相関

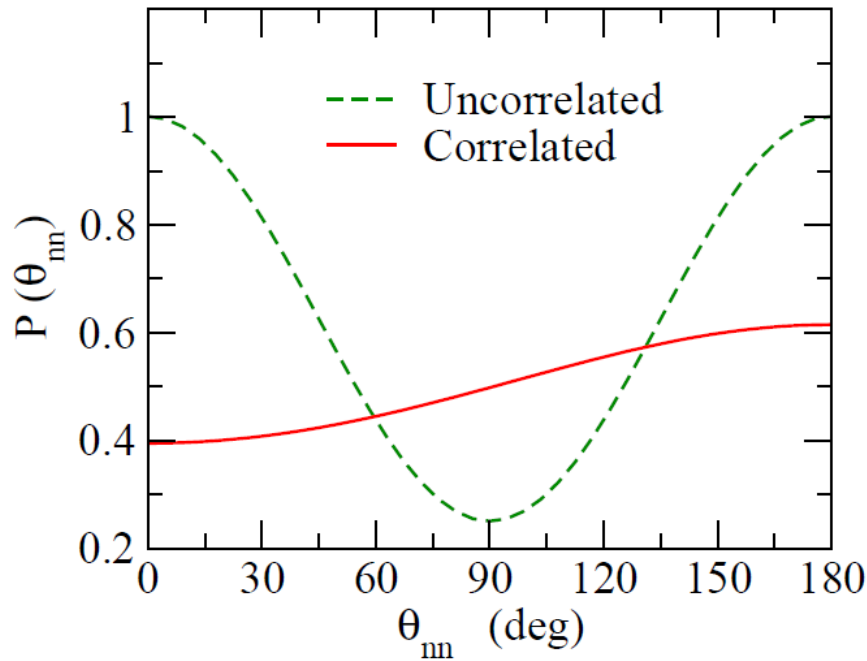
K.H. and H. Sagawa,
PRC89 ('14) 014331;
PRC93 ('16) 034330.

$$P(\theta) \sim |\langle \mathbf{k}_1 \mathbf{k}_2 | (1 + vG_0)^{-1} | \Phi_0 \rangle|^2$$



相関 → 逆方向 ($\theta = 180$ 度) への放出が増大

放出2中性子の角度相関

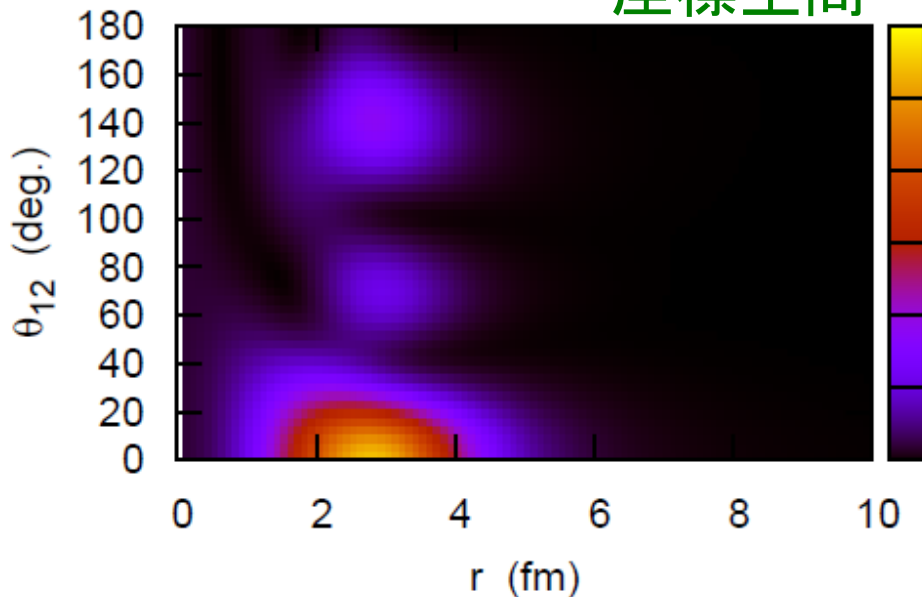


ボックス近似による
共鳴状態の2粒子密度

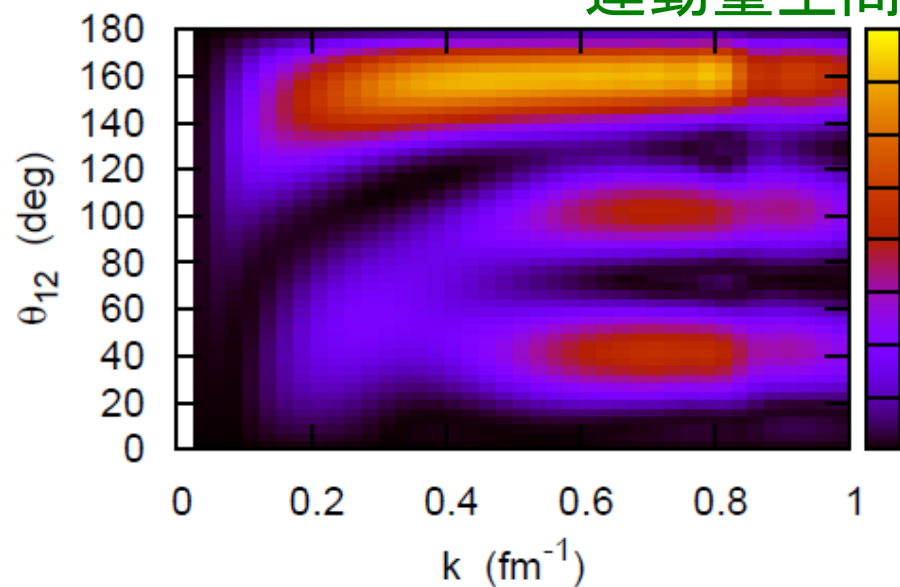
$$\rho(r, r, \theta)$$

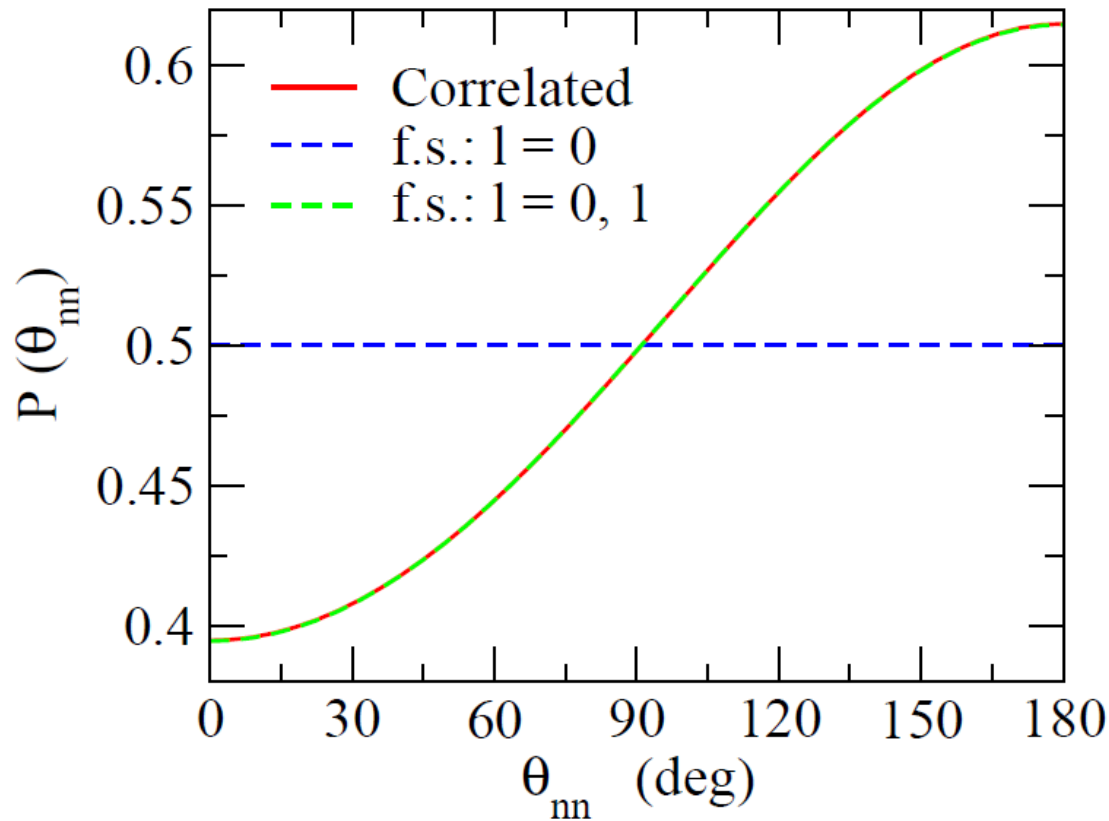
$$8\pi^2 k^4 \sin \theta \cdot \rho(k, k, \theta)$$

座標空間



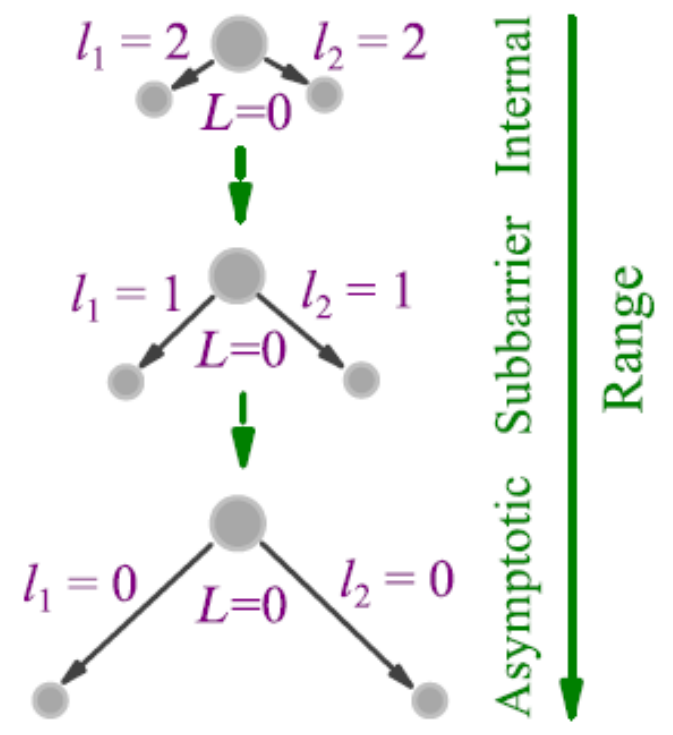
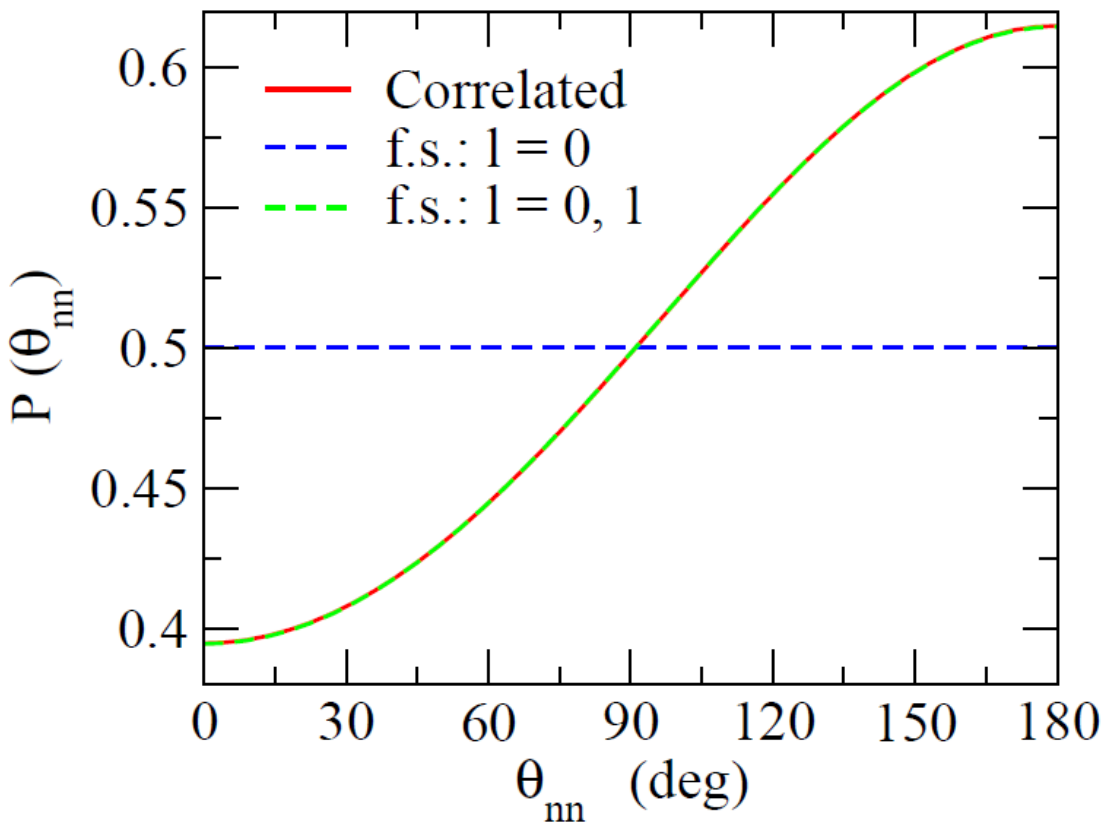
運動量空間





主な寄与: 3体波動関数のうち s 波及び p 波の成分
(遠心力障壁の影響がゼロまたは小さい)

*高い l の成分: 遠心力ポテンシャルのために大きく抑制
($E_{\text{decay}} \sim 18 \text{ keV}$, $e_1 \sim e_2 \sim 9 \text{ keV}$)



L.V. Grigorenko et al.,
PRL111 ('13) 042501

$$P(\theta) \sim |\langle \mathbf{k}_1 \mathbf{k}_2 | \underbrace{(1 + vG_0)^{-1}} | \Phi_0 \rangle|^2$$

再散乱

主な寄与: 3体波動関数のうち s 波及び p 波の成分
(遠心力障壁の影響がゼロまたは小さい)

最後に:この集中講義全体のまとめ

1. イントロダクション:中性子過剰核の物理

この講義で何をカバーするのか(概観)

2. 1粒子ハロー核の性質

角運動量とハロー現象

3. 非束縛核と共鳴現象

ポテンシャル共鳴の一般論

1陽子放出

4. 変形した不安定核

結合チャンネル系の束縛状態と共鳴状態

5. 原子核における対相関と2中性子ハロー核

ボロミアン核、ダイニュートロン相関

6. 3体模型による記述

7. 2核子放出崩壊現象(2陽子放出、2中性子放出)

ハドロン分野のM1やM2が聞いても面白いと思える講義(にしたい)

 どうでしたか?